

UNIVERZA NA PRIMORSKEM  
FAKULTETA ZA MATEMATIKO, NARAVOSLOVJE IN  
INFORMACIJSKE TEHNOLOGIJE

Zaključna naloga

**Model tridimenzionalnih obremenitev kolena med  
kolesarjenjem**

(Three-dimensional knee loading during cycling)

Ime in priimek: Peter Kozlovič

Študijski program: Računalništvo in informatika

Mentor: doc. dr. Borut Fonda

**Koper, avgust 2018**

## Ključna dokumentacijska informacija

Ime in PRIIMEK: Peter KOZLOVIČ

Naslov zaključne naloge: Model tridimenzionalnih obremenitev kolena med kolesarjenjem

Kraj: Koper

Leto: 2018

Število listov: 66

Število slik: 14

Število tabel: 7

Število prilog: 1

Število strani prilog: 16

Število referenc: 26

Mentor: doc. dr. Borut Fonda

Ključne besede: biomehanika, kinematika, kinetika, kolesarstvo, 3D matematični model

### **Izveček:**

V kolesarstvu so najpogostejše poškodbe obrabe kolena. Sklepa se, da na obrabe v največji meri vplivajo navori (predvsem varus/valgus in internal/eksternal navor). Za razumevanje delovanja navorov v sklepih se pojavlja potreba po razvoju 3D modelov. V nalogi smo razvili nov šestkomponentni model obremenitve kolena med kolesarjenjem. Integrirali smo podatke antropometrije, 3D kinematike in šestkomponentnega pedala in z inverzno dinamiko izračunali tri sile in tri navore v gležnju, kolenu in kolku. Na segmentu smo imeli pripete grozdovne markerje, s katerimi smo ustvarili virtualne markerje na segmentu. Spremenljivost v največjih in najmanjših vrednostih je bila majhna v izmerjenih navorih na pedalu in izračunanih navorih v kolenu, medtem ko imajo sile večjo spremenljivost (izmerjene in izračunane) kot navori. Sile v kolenu so primerljive z 2D modelom, ki sta ga razvila Ruby in Hull, medtem ko navori niso.

## Key words documentation

Name and SURNAME: Peter KOZLOVIČ

Title of final project paper: Three-dimensional knee loading during cycling

Place: Koper

Year: 2018

Number of pages: 66

Number of figures: 14

Number of tables: 7

Number of appendices: 1

Number of appendix pages: 16

Number of references:

26

Mentor: Assist. Prof. Borut Fonda, PhD

Keywords: biomechanics, kinematics, kinetics, cycling, 3D mathematical model

**Abstract:** Over-use knee injuries are common in cycling. Knee torque are thought to be primarily responsible for the etiology of this injuries (mainly varus/valgus and internal/external torques). To better understand the impact of torques on over-use knee injury 3D model should be considered. Main purpose of this study is to develop a 3D model of lower extremity during cycling. Integration of anthropometry and 3D kinematics data and six-component pedal loads are presented using inverse dynamics approach to develop 3D model and calculate forces and torques in ankle, knee and hip joints. We used kinematics clusters on each segment to define virtual markers. Variability in maximal and minimal torques was small for both, measured on pedal and calculated in knee, but large in corresponding crank angle, on the other side forces had larger variability (measured and calculated) than torques. Forces are comparable with Ruby & Hull model, but torques are quite different.

## Zahvala

Zahvaljujem se mentorju doc. dr. Borutu Fondi za strokovno pomoč pri izdelavi zaključne naloge in usmerjanju pri nadaljnjem izobraževanju. Zahvaljujem se tudi družini in prijateljem za podporo pri študijskih in obštudijskih dejavnosti.

# Kazalo vsebine

<b>1</b>	<b>Uvod</b>	<b>1</b>
<b>2</b>	<b>Predmet in problem</b>	<b>5</b>
2.1	Cilj naloge . . . . .	6
<b>3</b>	<b>Metode</b>	<b>7</b>
3.1	Markerji . . . . .	7
3.2	Antropometrija . . . . .	9
3.2.1	Središča sklepov . . . . .	10
3.2.2	Masno središče, mase segmentov in vztrajnostne lastnosti . . . .	11
3.3	Kinematika . . . . .	12
3.3.1	Kalibracijska faza . . . . .	12
3.3.2	Glavne meritve . . . . .	20
3.4	Kinetika . . . . .	25
3.4.1	Sile . . . . .	27
3.4.2	Navori . . . . .	28
3.5	Testni postopek . . . . .	29
<b>4</b>	<b>Rezultati z diskusijo</b>	<b>32</b>
<b>5</b>	<b>Zaključek</b>	<b>37</b>
<b>6</b>	<b>Literatura</b>	<b>38</b>

## Kazalo tabel

1	Oznake markerjev . . . . .	9
2	Masno središče . . . . .	11
3	Mase segmentov . . . . .	11
4	Največje in najmanjše vrednosti sil na pedalu . . . . .	32
5	Največje in najmanjše vrednosti sil v kolenu . . . . .	34
6	Največje in najmanjše vrednosti navorov na pedalu . . . . .	35
7	Največje in najmanjše vrednosti navorov v kolenu . . . . .	35

# Kazalo slik

1	Pivot (levo) in grozd (desno) . . . . .	8
2	Položaji virtualnih markerjev . . . . .	8
3	Koordinatni sistem in položaji markerjev na pedalu . . . . .	10
4	Koordinatni sistem stopala . . . . .	14
5	Koordinatni sistem goleni . . . . .	17
6	Koordinatni sistem stegna . . . . .	19
7	3D rešitev inverzne dinamike stopala . . . . .	25
8	3D rešitev inverzne dinamike goleni . . . . .	26
9	3D rešitev inverzne dinamike stegna . . . . .	26
10	3D rešitev inverzne dinamike spodnjih ekstremitet . . . . .	30
11	Sile na pedalu (merjenec 2) . . . . .	33
12	Sile v kolenu (merjenec 2) . . . . .	33
13	Navor na pedalu (merjenec 2) . . . . .	34
14	Navor v kolenu (merjenec 2) . . . . .	35

# Kazalo prilog

Priloga A: Matlab koda



## Seznam kratic

<i>2D</i>	dvodimenzionalno
<i>3D</i>	tridimenzionalno
<i>ASIS</i>	anterior superior iliac spine
<i>COM<sub>f</sub></i>	masno središče stopala
<i>COM<sub>s</sub></i>	masno središče goleni
<i>COM<sub>t</sub></i>	masno središče stegna
<i>l.</i>	leto
<i>npr.</i>	na primer
<i>oz.</i>	oziroma
<i>SMT</i>	spodnja mrtva točka
<i>t.j.</i>	to je
<i>ZMT</i>	zgornja mrtva točka

# 1 Uvod

Kolesarstvo je zelo popularen šport v svetu z velikim interesom za profesionalno kot tudi za rekreativno kolesarjenje. Posledice popularnosti so vidne v povečanem številu poškodb, predvsem v spodnjem delu hrbta in na spodnjih ekstremitetah. Ločimo travmatične poškodbe, te so posledica padca s kolesa in poškodbe zaradi prekomerne obrabe [6].

Clarsen, Krosshaug in Bahr so naredili raziskavo v kateri so intervjuvali 109 profesionalnih kolesarjev. Od skupno 94 poškodb so bile najpogostejše v spodnjem delu hrbta (45%) ter na anteriornem delu kolena (23%). Ugotovili so 23 poškodb, zaradi katerih kolesarji niso mogli trenirati in tekmovati: od teh jih je bilo 57% na sprednjem delu kolenskega sklepa, 22% v spodnjem delu hrbta in 13% na spodnjem delu noge. Skupno je v enem letu 36% kolesarjev čutilo bolečino na sprednjem delu kolena. Od tega jih je kar 19% potrebovalo zdravniško pomoč, 58% je čutilo bolečino v spodnjem delu hrbta in kar 41% jih je poiskalo zdravniško pomoč. Bolečine v kolenu so bile najbolj pogoste v pripravljalnem obdobju, medtem ko so v spodnjem delu hrbta bile tako v zgodnji sezoni kot tudi v glavni sezoni. V tej raziskavi niso definirali točne lokacije bolečine, temveč samo, na katerem delu sklepa je prišlo do bolečine [7].

De Bernardo, Barrios, Vera, Laiz in Hadala so ugotovili, da do poškodb zaradi prekomerne obrabe pride najpogosteje v pripravljalnem obdobju (90,06%), medtem ko do travmatičnih poškodb (64%) pride v tekmovalnem obdobju. Najbolj pogosta anamneza bolečine v kolenu je bil sindrom iotibialnega trakta (14,8%), medtem ko je bil skupni delež poškodb kolena 32,1%. Ugotovili so tudi, da je stopnja tveganja poškodbe (travmatične in obraba) med profesionalnimi kolesarji zelo visoka (0,504 na kolesarja/leto). Več kot 65% travmatičnih poškodb je bilo na zgornjih ekstremitetah, medtem ko so bile poškodbe zaradi prekomerne obrabe v sklepih spodnjih ekstremitet 62,7% [11].

Dve najpogostejši poškodbi v kolenskem sklepu sta patelofemoralni sindrom (v literaturi se imenuje tudi "kolesarsko koleno") in sindrom iotibialnega trakta. Do prve prihaja zaradi sile, ki deluje na patelofemoralni sklep in je pogosto posledica vožnje v preveliki prestavi ali daljše vožnje v klanec. Posledica drugega sindroma je prevelika fleksija kolena [6]. Na poškodbe kolena vplivajo tudi navori v frontalni ravnini, t.j. varus in valgus navor [15, 16].

Ker so v veliki meri za nastanek športnih poškodb odgovorne sile in navori v sklepih, jih je smiselno podrobneje preučevati. Sile in napore računamo z biomehanskim modelom. V športu nam biomehanika pomaga pri analizi gibanja športnika, da lažje razumemo obremenitve in učinkovitost gibanja, oz. da zmanjšamo možnosti nastanka poškodb in izboljšamo športnikov nastop. Danes obstaja veliko merilnih pristopov, ki nam pri tem pomagajo. Večina opreme zajema podatke v 3D prostoru, kar velja tako za kinematiko kot tudi za kinetiko.

Optoelektrična tehnologija se uporablja za zajemanje kinematičnih podatkov. Prvi komercialni sistem se je imenoval Watsmart, ki so ga razvili pri Northern Digital v Kanadi leta 1983. Izboljšava je prišla leta 1989. Takrat so razvili prvi OPTOTRAK [8]. Ta sistem zajema podatke v treh dimenzijah v realnem času in se uporablja še danes. Glavna razlika je v tem, da ima danes večjo natančnost.

Z biomehaniko so se v kolesarstvu začeli ukvarjati že na začetku 20. stoletja, ko sta Krogh in Lindhard leta 1913 razvila prvi ergometer [20]. Naprava omogoča nadzorovano in natančno spreminjanje obremenitve med kolesarjenjem, kar je zelo uporabno v laboratorijskih testih [14]. Bertucci, Grappe in Gros Lambert so pokazali, da je kolesarjenje v laboratoriju podobno kolesarjenju na prostem, saj je bil navor na gonilki podoben v obeh okoljih [4, 14].

Kot v večini panog, tudi v kolesarstvu obstajajo izrazi, ki so težje razumljivi. Z namenom boljšega razumevanja vsebine, predstavljamo nekaj izrazov. Frekvenca pedaliranja (kadenca) je definirana kot število obratov na minuto (rpm). V kolesarstvu se parametri definirajo glede na položaj pedal oz. na kot gonilke, pri čemer je  $0^\circ$  na ZMT ter  $180^\circ$  na SMT. Glede na ti dve točki, ločimo tri faze [14]:

- aktivna faza ( $0^\circ$ - $180^\circ$ )
- pasivna faza ( $180^\circ$ - $0^\circ$ )
- prehodna faza ( $\pm 5^\circ$  od ZMT in SPT)

Prvi dinamometer na pedalu so razvili Hoes, Binkhorst, Smeekes-Kuyl in Vissers, leta 1968 [17]. Računali so rezultatno in tangencialno silo. Ugotovili so, da je sila največja, ko je kot gonilke  $90^\circ$  in da je njihova velikost na pedalu dvakrat večja od obremenitve na ergometru. To pomeni, da noga v aktivni fazi dviguje nogo, ki je v pasivni fazi. Niso uporabljali pedala na vpetje, kar pomeni, da noga v pasivni fazi ne propomore k poganjanju [14].

Prvi šestkomponentni pedal sta razvila Hull in Davis leta 1981. Pedal je računal tri sile in tri napore [18]. Kasneje sta naredila analizo in ugotovila, da se učinkovitost sile izboljša z uporabo pedal na vpetje in pri večjih obremenitvah ter da je navor okoli medialno-lateralne osi skoraj 0 [10]. Posledično v nadaljnjih raziskavah niso zajemali

tega navora [19]. Byond, Hull in Wootten so leta 1996 izboljšali natančnost dinamometra na pedalu [5].

Ericson in Nisell [13] sta odkrila, da je tangencialna sila edina učinkovita mehanska sila in da centrifugalna sila ne vpliva na mehansko učinkovitost [14]. Ugotovila sta še, da je rezultanta sil obrnjena navzdol in rahlo naprej med  $0^\circ$  in  $160^\circ$  ter rahlo nazaj med  $160^\circ$  in  $360^\circ$ . Tangencialna sila je bila negativna med  $195^\circ$  in  $360^\circ$ , iz česar sta zaključila, da je vse delo naredila nasprotna noga. Najvišja centrifugalna sila je bila izmerjena med  $120^\circ$  in  $195^\circ$ , najmanjša pa, ko je bila noga v horizontalnem položaju (med  $90^\circ$  in  $285^\circ$ ) [12,14]. Mehanska učinkovitost se zviša pri večjih obremenitvah [14].

Bertucci *et al.* so ugotovili, da se pri kolesarjenju v klanec z 8% naklonom navor zviša za 26% pri isti kadenci (80 rpm) v primerjavi z kolesarjenjem po ravnini. Statistično gledano je med kolesarjenjem po ravnini navor občutno večji pri manjši kadenci (60 rpm) v primerjavi z večjo kadenco (80 rpm). Statistično je bila največja razlika v navoru med kolesarjenjem v klanec pri nižji kadenci (60 rpm) in kolesarjenju po ravnini pri višji kadenci (100 rpm). V splošnem, ko poganjamo pedala pri nižji kadenci, bo navor večji v primerjavi z višjo kadenco [3,14]. Razen kadence na navore v sklepkih delujejo tudi geometrijske nastavitve kolesa [14].

Hull in Jorge sta se že leta 1985 začela ukvarjati z obremenitvami v sklepkih med kolesarjenjem v 2D prostoru. Nogo so opazovali iz sagitalne ravnine, zajemali so normalno in tangencialno silo na pedal ter kinematiko. Potem so z inverzno dinamiko izračunali dve sili in en navor v vsakem sklepu, in sicer za gleženj, koleno in kolk [19].

Ruby, Hull, Kirby in Jenkins so ugotovili, da na poškodbe kolenskega sklepa vpliva varus navor v aktivni fazi in valgus v fazi dviga ter da na obremenitve v kolenu vpliva anatomsko zgradba stopala in noge. Največja povezava je v orientaciji prednjega dela stopala v odvisnosti s čelno ravnino (skupni kot prednjega dela stopala) [24].

Ruby in Hull sta ugotovila, da na obremenitve v kolenu vpliva tudi rotacijska stopnja prostosti med stopalom in pedalom. Če dovolimo stopalu addukcijo in abdukcijsko vrednost anteriorne in lateralne sile ter valgus in notranji osni navor v kolenu manjši. Posteriorno in lateralno silo skupaj z valgus navorom zmanjšamo, tako da dovolimo stopalu notranjo rotacijo [22].

Avtorju te naloge je znano, da doslej obstajata samo dva matematična 3D modela, pri čemer eden ne zadošča vsem lastnostim 3D kinetike in kinematike [23]. V drugem modelu so obravnavali samo varus/valgus in notranjo/zunanji navor [16]. Modela bosta podrobneje predstavljena v naslednjem poglavju.

V drugih gibanjih so se prej začeli ukvarjati s 3D modeli. Apkarian, Naumann in Cairnst so leta 1989 naredili enega izmed prvih 3D modelov spodnjih ekstremitet [2]. Davis *et al.* so razvili bilateralni 3D model trupa in spodnjih ekstremitet [9]. Vaughan, Davis in O'Connor so naredili 3D model spodnjih ekstremitet med hojo, pri čemer so

izračunali vse sile in napore v gležnju, kolenu in kolku [25]. Winter je v svoji knjigi opisal postopek 3D inverzne dinamike in opozoril, na katere stvari je treba biti pozoren pri načrtovanju 3D modela [26]. Alkjaer, Simonsen in Dyhre-Poulsen so ugotovili, da se računanje navorov z 2D in 3D inverzno dinamiko razlikuje v najvišjih vrednostih. Sklepajo, da do razlike pride zaradi različnih položajev središč sklepa in različnih pristopov računanja inverzne dinamike. Zaključujejo, da je 2D inverzna dinamika dovolj dobra za analizo hoje in predlagajo, da se uvede standardni protokol inverzne dinamike [1]. Liu in Lockhart sta ugotovila, da se navori v sklepih močno razlikujejo, če uporabljamo lokalno oz. globalno 3D inverzno dinamiko. Predpostavljata še, da so navori izraženi v lokalnem sistemu večjega pomena [21].

V nadaljevanju bosta podrobno predstavljena dva 3D modela inverzne dinamike in njune omejitve. Sledil bo nov 3D model spodnjih ekstremitet med kolesarjenjem in rezultati testnega postopka z razpravo, kjer smo primerjali dobljene rezultate s prejšnjimi modeli.

## 2 Predmet in problem

Kot je bilo prej omenjeno, so 3D obremenitve kolena med kolesarjenjem omejene na dve študiji. Predstavljene bodo metode računanja, njihove omejitve in kaj se lahko izboljša.

Prvi šestkomponentni model obremenitve kolena med kolesarjenjem so razvili Ruby, Hull in Hawkins leta 1992. Model računa 3 sile in 3 navori v kolenu [23]. Uporabljali so šestkomponentni pedal in 3D kinematiko, vendar model ne zadošča lastnostim 3D kinematike. V modelu so upoštevali vse sile, ki delujejo preko ročice na navori, kar pomeni, da so npr. pri varus/valgus navoru upoštevali medialno/lateralno silo. Upoštevali so tudi kot noge in pedala glede na globalni koordinatni sistem kinematike, vendar so kotne hitrosti in pospeške računali v 2D prostoru in jih nisto ločili za vsako komponento ( $x$ ,  $y$  in  $z$ ) posebej. Od vztrajnostnih lastnosti so upoštevali samo v sagitalni ravnini v  $y$  smer. Pri medialno/lateralni sili je še ena omejitev, saj so določili, da je ta ista, kot je izmerjena na pedalu, kar bi pomenilo, da sta lokalni medialno/lateralni vektor na pedalu in v kolenu vedno vzporedna. To pa ni nujno res. Če opazujemo nogo iz čelne ravnine in se koleno premika levo ali desno, vektorja ne bosta vzporedna. Ko opazujemo nogo iz sagitalne ravnine, če noga naredi notranjo oz. zunanjo rotacijo, vektorja tudi ne bosta imela iste smeri in posledično tudi njuna velikost ne bo enaka. Ker medialno/lateralna sila vpliva na varus/valgus navor, bo posledično izračun nepravilen.

Gregersen in Hull sta razvila 3D model, pri čemer sta izračunala samo varus/valgus in notranjo/zunanji navor [16]. Uporabljala sta dva fizična in en virtualni marker na segment. Virtualni marker sta določila v kalibracijski fazi, tako da sta ustvarila lokalni koordinatni sistem in izračunala položaj sklepa v lokalnem sistemu. Tako sta lahko vedno nadzorovala položaj sklepa. Pri računanju markerskega sistema stopala sta uporabila virtualno točko na pedalu kot marker za segment stopala. To drži zgolj v primeru, ko merjenec uporablja pedala na vpetje brez prostostne stopnje, v vseh ostalih primerih pedal in stopalo nista togi telesi, saj pedal ne sledi vsakemu gibanju stopala.

## 2.1 Cilj naloge

Glavni namen naloge je razviti 3D model spodnjih ekstremitet med kolesarjenjem, ki bo računal 3 sile in 3 navore na distalnem oz. proksimalnem delu segmenta v  $x$ ,  $y$  in  $z$  smeri.

## 3 Metode

Model ima šest prostostnih stopenj, kar pomeni, da loči šest različnih komponent in sicer: tri sile in tri navore v  $x$ ,  $y$  in  $z$  smer za sile in okoli teh osi za navore. Da lahko izračunamo šest komponent, potrebujemo tudi šest različnih spremenljivk. Tri prostostne stopnje nam določi koordinatni sistem (vsaka od smeri  $x$ ,  $y$  in  $z$  je ena prostostna stopnja), preostale tri stopnje dobimo iz treh rotacijskih kotov. Kote potrebujemo, da vemo, v kakšnem odnosu sta globalni in lokalni koordinatni sistem oz. vse spremenljivke, ki jih potrebujemo, saj jih moramo rotirati iz lokalnega v globalni sistem in obratno. Te kote potrebujemo tudi pri izračunu kotnih hitrosti.

Obstaja 12 pravih rotacij. Mi smo uporabljali navadno Cardanovo rotacijo  $x - y' - z''$ , kar pomeni da smo najprej rotirali okoli  $x$  osi, potem okoli nove  $y'$  in na koncu okoli nove  $z''$  osi. Ta rotacija je običajna v biomehaniki [26].

V nadaljevanju je opisana integracija antropometrijskih, kinetičnih in kinematičnih podatkov. Z integracijo kinematičnih in antropometrijskih podatkov določimo središča sklepov, maso, hitrosti, pospeške in središča mase segmentov. Nato dodamo še kinetične podatke in s pomočjo inverzne dinamike izračunamo proksimalne sile in navore na segmentu. Šestdelni sistem je uporabljen za 3D model spodnjih ekstremitet med kolesarjenjem na sedežu. Ta sistem sestavlja kolo, pelvis, femur, tibia, stopalo in ročica gonilke. Meritve so bile razdeljene na dve fazi in sicer na kalibracijsko fazo in glavne meritve. V kalibracijski fazi smo zajemali samo podatke kinematike, merjenec je ohranjal položaj. Podatke tega postopka smo potrebovali za določanje antropometrijskih podatkov in anatomskih koordinatnih sistemov. V drugi fazi smo izvajali želeno meritve.

### 3.1 Markerji

Za obravnavo 3D sistema potrebujemo vsaj tri linearno neodvisne markerje na segmentu. Markerje delimo na kalibracijske in sledilne. Sledilni markerji so ves čas pripeti na segmente, medtem ko kalibracijske potrebujemo v kalibracijski fazi. Kalibracijski markerji nam pomagajo določiti anatomske točke, kot sta središče sklepa in masno središče segmenta.

Pri tej nalogi smo uporabljali markerje v grozdih (ang. *cluster*), zaradi česar smo imeli



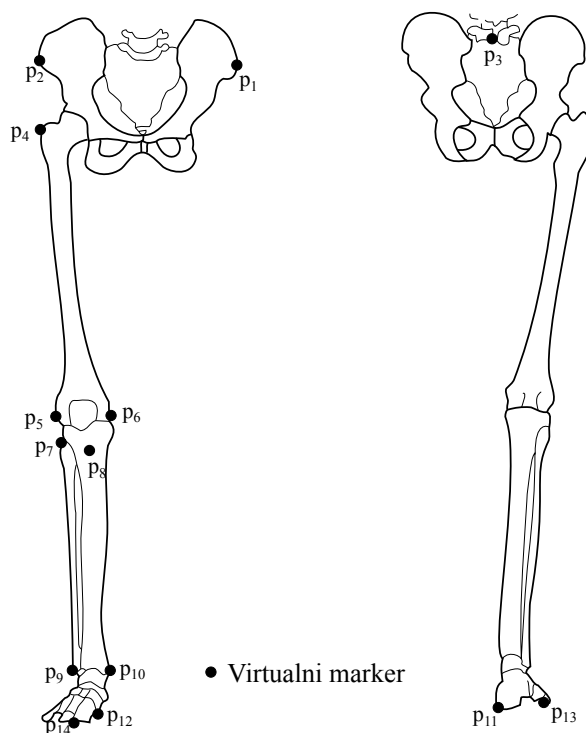
ves čas nameščene vse markerje. Grozd je sistem treh markerjev, ki je nameščen na segmentu. Programska oprema glede na grozd ustvari virtualni marker na poljubnem mestu togega telesa. Na sliki 1 je prikazan pivot, s katerim ustvarimo virtualne točke in grozd treh markerjev.



Slika 1: Pivot (levo) in grozd (desno).<sup>1</sup>

Vsi položaji virtualnih markerjev so zapisani v stolpcu marker v tabeli 1, kot tudi njihove oznake, ki smo jih uporabljali v nadaljevanju.

Na sliki 2 so označeni markerji ( $p_1 - p_{14}$ ) na človeškem skeletu spodnjih ekstremitet.



Slika 2: Položaji virtualnih markerjev.<sup>2</sup>

<sup>1</sup>Vir: <https://www.ndigital.com/msci/products/optical-accessories/>

<sup>2</sup>Vir: Lasten vir

Tabela 1: Oznake markerjev

Marker	Oznaka
levi ASIS	$p_1$
desni ASIS	$p_2$
križnica (med petim ledvenim vretencem in križnico)	$p_3$
trohanter	$p_4$
lateralni kondil	$p_5$
medialni kondil	$p_6$
glava mečnica	$p_7$
grčavina	$p_8$
lateralni maleol	$p_9$
medialni maleol	$p_{10}$
peta	$p_{11}$
stopalnica I	$p_{12}$
stopalnica V	$p_{13}$
prst	$p_{14}$
pedal1	$p_{15}$
pedal2	$p_{16}$
pedal3	$p_{17}$
pedal4	$p_{18}$

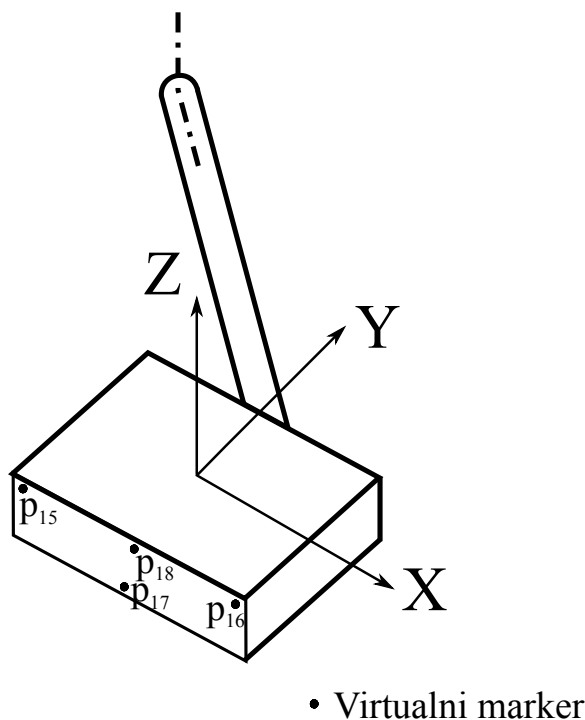
Na pedalu smo imeli nameščene štiri fizične markerje ( $p_{15} - p_{18}$ ) kot je razvidno s slike 3.

## 3.2 Antropometrija

Obravnavali smo segmente stegno, golen in stopalo ter medenico, ki smo jo potrebovali za določanje položaja kolka. Antropometrijski podatki, ki jih potrebujemo so masa celega telesa, mase segmentov, masno središče in proksimalne ter distalne razdalje od središča mase do konca segmenta, kot tudi dolžine segmentov in vztrajnostne lastnosti segmentov.

---

<sup>3</sup>Vir: Lasten vir

Slika 3: Koordinatni sistem in položaji markerjev na pedalu.<sup>3</sup>

### 3.2.1 Središča sklepov

Središča sklepov smo določili v kalibracijski fazi. Središče gleznja smo določili na sredini med medialnim in lateralnim maleolom:

$$p_{Glezenj} = (p_9 + P_{10})/2$$

Podobno središče kolena smo določili med medialnim in lateralnim kondilom:

$$p_{Kolen} = (p_5 + p_6)/2$$

Središče kolka smo določili s pomočjo medenice [25]. Najprej smo ustvarili referenčni sistem medenice z markerji na križnici ter levem in desnem ASIS-u na naslednji način:

$$v = (p_1 - p_2)/|p_1 - p_2|$$

$$w = (p_2 - p_3) \times (p_1 - p_3)/|(p_2 - p_3) \times (p_1 - p_3)|$$

$$u = v \times w$$

pri čemer je  $u, v, w$  referenčni sistem medenice.

Koordinate kolka smo izračunali po formuli:

$$p_{Kolk} = p_3 + (0.598A_1)u - (0.344 * A_1)v - (0.290A_1)w$$

Tabela 2: Masno središče

Segment	Masno središče segmenta	
	Proksialno	Distalno
Stegno	0.39	0.61
Golen	0.42	0.58
Stopalo	0.5	0.5

pri čemer je  $A_1$  = razdalja med levim in desnim ASIS-om ( $p_1$  in  $p_2$ ).

### 3.2.2 Masno središče, mase segmentov in vztrajnostne lastnosti

Dolžino stegna smo definirali kot razdaljo med središčem kolka in kolena. Golen smo definirali kot razdaljo med kolenom in gležnjem ter stopalo kot razdaljo med peto in najdaljšim prstom (prvi ali drugi prst). Masno središče segmentov je prikazano v tabeli 2 kot razdalja od proksimalnega oz. distalnega dela segmenta [26]. Masno središče stopala smo definirali med virtualno točko na pedalu (približno pod stopalnico II) in gležnjem.

Mase segmentov smo določili kot odstotek mase celega telesa, kot prikazuje tabela 3 [26].

Tabela 3: Mase segmentov

Segment	Odstotek od mase celega telesa(M)
Stegno	0.1 M
Golen	0.0465 M
Stopalo	0.0145 M

Vztrajnostne lastnosti smo določili v  $x$ ,  $y$  in  $z$  smer [25].

Za stopalo velja:

$$If_x = 0.00023 * A_2 * (4 * A_3^2 + 3 * A_4^2) + 0.00022$$

$$If_y = 0.00021 * A_2 * (4 * A_5^2 + 3 * A_4^2) + 0.00067$$

$$If_z = 0.00141 * A_2 * (A_3^2 + A_5^2) + 0.00008$$

pri čemer je  $A_2$  = masa celega telesa,  $A_3$  = višina maleola (ko imamo nogo na tleh, izmerimo razdaljo od tal pravokotno do maleola),  $A_4$  = dolžina stopala in  $A_5$  = širina

stopala (razdalja med  $p_{12}$  in  $p_{13}$ ).

Za golen velja:

$$I_{s_x} = 0.00347 * A_2 * (A_6^2 + 0.076 * A_7^2) + 0.00511$$

$$I_{s_y} = 0.00387 * A_2 * (A_6^2 + 0.076 * A_7^2) + 0.00138$$

$$I_{s_z} = 0.00041 * A_2 * A_7^2 + 0.00012$$

pri čemer je  $A_6$  = dolžina goleni (razdalja med  $pKolen$ o in  $pGlezenj$ ) in  $A_7$  = obseg goleni (obseg izmerimo na  $\frac{1}{3}$  razdalje od kolena proti gležnju).

Za stegno velja:

$$I_x = 0.00762 * A_2 * (A_8^2 + 0.076 * A_9^2) + 0.01153$$

$$I_y = 0.00762 * A_2 * (A_8^2 + 0.076 * A_9^2) + 0.01186$$

$$I_z = 0.00151 * A_2 * A_9^2 + 0.00305$$

pri čemer je  $A_8$  = dolžina stegna (razdalja med  $pKolk$  in  $pKolen$ o) in  $A_9$  = obseg stegna (obseg izmerimo na  $\frac{1}{2}$  stegna, med kolkom in kolenom).

### 3.3 Kinematika

Kinematiko smo razdelili na kalibracijsko fazo in glavne meritve [26]. S podatki kalibracijske faze smo določili referenčne sisteme segmentov in v kakšnem odnosu so ti sistemi glede na globalni sistem. Nato smo dodali še podatke glavnih meritev in izračunali linearne ter kotne hitrosti in pospeške. Glavne spremenljivke so trije Cardanovi koti  $\theta_1$ ,  $\theta_2$  in  $\theta_3$  ter koordinate masnega središča segmenta, saj te spremenljivke potrebujemo za računanje kotne hitrosti in linearnih ter kotnih pospeškov.

#### 3.3.1 Kalibracijska faza

Vsi referenčni sistemi zadoščajo pravilu desne roke. Najprej smo definirali referenčni sistem na pedalu, saj ga potrebujemo, da pretvorimo sile in navore iz lokalnega sistema pedala v globalni sistem. Potem smo nadaljevali s stopalom, goleni in stegnom.

Referenčni sistem pedala smo definirali, kot je prikazuje slika 3, na naslednji način:

$$X_{an} = p_{16} - p_{17}$$

$$Z_{an} = p_{18} - p_{17}$$

$$Y_{an} = Z_{an} \times X_{an}$$

$$X_{an} = Y_{an} \times Z_{an}$$

Ker ta sistem ni enoten, smo vse vektorje pretvorili v enotne velikosti, tako da smo dolžino posameznega vektorja podelili z vsako koordinato. Matrika  $PG\_A$  preslika vektor iz globalnega v anatomskega sistema. Koordinate v matriki so enotne velikosti anatomskega koordinatnega sistema pedala, zapisane v naslednji obliki,  $X_{an}$  ( $X_x, Y_x, Z_x$ ),  $Y_{an}$  ( $X_y, Y_y, Z_y$ ) in  $Z_{an}$  ( $X_z, Y_z, Z_z$ ) oz. v matrični obliki:

$$PG\_A = \begin{bmatrix} X_x & Y_x & Z_x \\ X_y & Y_y & Z_y \\ X_z & Y_z & Z_z \end{bmatrix}$$

Na koncu smo določili še središče pedala:

$$pedalF = p_{18} + (40 * Y_{an})$$

Potrebujemo še markerski sistem pedala, da vemo, v kakšnem odnosu je lokalni sistem pedala glede na globalni sistem. Najprej je potrebno poiskati koordinate markerjev na pedalu v lokalnem sistemu. To naredimo na naslednji način:

$$pedal2\_od\_masnega\_sredisca = p_{16} - pedalF$$

$$APV2 = pedal2\_anatomski[FG\_A] * [pedal2\_od\_masnega\_sredisca]$$

$$pedal3\_od\_masnega\_sredisca = p_{17} - pedalF$$

$$APV3 = pedal3\_anatomski[FG\_A] * [pedal3\_od\_masnega\_sredisca]$$

$$pedal4\_od\_masnega\_sredisca = p_{18} - pedalF$$

$$APV4 = pedal4\_anatomski[FG\_A] * [pedal4\_od\_masnega\_sredisca]$$

Markerski sistem pedala smo definirali na naslednji način:

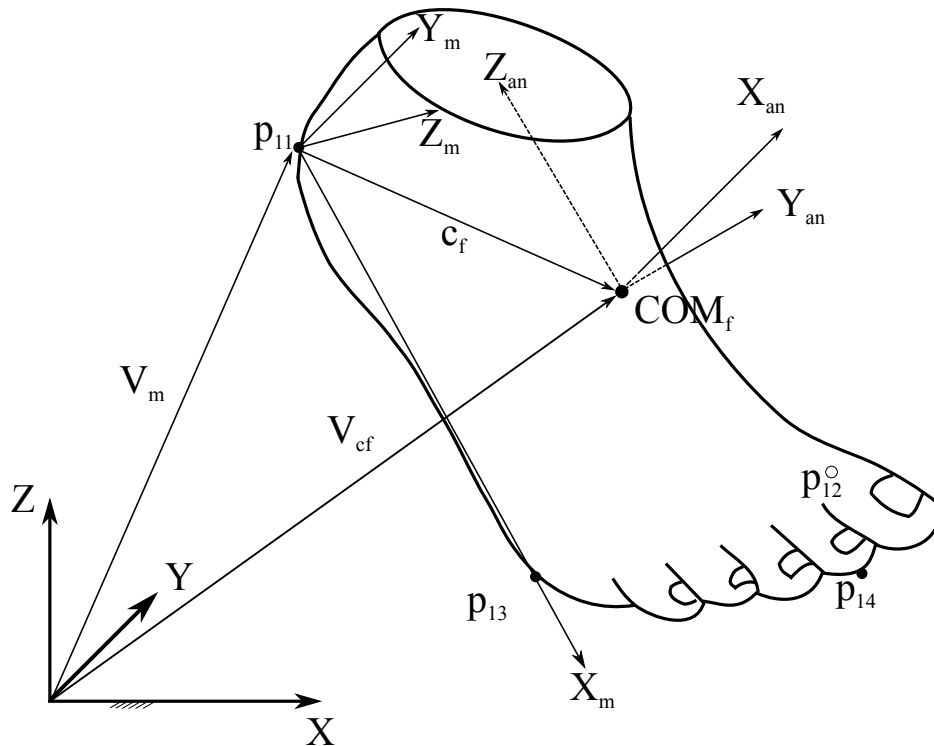
$$Z_m = APV4 - APV3$$

$$A_v = APV2 - APV4$$

$$Y_m = Z_m \times A_v$$

$$X_m = Y_m \times Z_m$$

Anatomskega sistema stopala smo določili tako, da je  $Z_{an}$  os vektor, ki povezuje virtualno točko na pedalu ( $pedalF$ ) in gleženj (pozitiven proksimalno),  $Y_{an}$  os je vektor med stopalnico V in stopalnico I (pozitiven medialno), ta vektor ni pravokoten na

Slika 4: Koordinatni sistem stopala.<sup>4</sup>

$Z_{an}$ , vendar ga bomo kasneje popravili. S tem smo ustvarili ravnino  $YZ$ ,  $X_{an}$  os je pravokotna na to ravnino (pozitivna anteriorno).

$$Y_{an} = p_{12} - p_{13}$$

$$Z_{an} = p_{Glezenj} - p_{pedalF}$$

$$X_{an} = Y_{an} \times Z_{an}$$

Na koncu smo popravili še  $Y_{an}$ , tako da bo pravokoten na ravnino  $XZ$ :

$$Y_{an} = Z_{an} \times X_{an}$$

Koordinatni sistem smo pretvorili v enotne velikosti. Matrika  $FG\_A$  preslika vektor iz globalnega v anatomske sistem.

$$FG\_A = \begin{bmatrix} X_x & Y_x & Z_x \\ X_y & Y_y & Z_y \\ X_z & Y_z & Z_z \end{bmatrix}$$

Nadaljevali smo z računanjem lokalnih koordinat gležnja in središče pedala ter treh sledilnih markerjev, saj želimo, da ima anatomske koordinatni sistem izhodišče v masnem središču.

<sup>4</sup>Vir: Lasten vir

Najprej smo izračunali, za koliko je oddaljen gleženj od masnega središča, kar smo naredili tako, da smo odšteli globalno koordinato gležnja od globalne koordinate masnega središča. Nato smo pomnožili matriko  $FG\_A$  z dobljeno globalno koordinato. S tem smo dobili položaj gležnja v anatomskem sistemu stopala.

$$\begin{aligned} \text{glezenj\_od\_masnega\_sredisca} &= p\text{Glezenj} - \text{COM}f \\ \text{glezenj\_anatomski}[FG\_A] &* [\text{glezenj\_od\_masnega\_sredisca}] \end{aligned}$$

Postopek smo ponovili za središče pedala in markerje na peti, stopalnici I in stopalnici 5.

$$\begin{aligned} \text{pedal\_od\_masnega\_sredisca} &= \text{pedal}F - \text{COM}f \\ \text{APVF} &= \text{pedal\_anatomski}[FG\_A] * [\text{pedal\_od\_masnega\_sredisca}] \end{aligned}$$

$$\begin{aligned} \text{peta\_od\_masnega\_sredisca} &= p_{11} - \text{COM}f \\ \text{AHVF} &= \text{peta\_anatomski}[FG\_A] * [\text{peta\_od\_masnega\_sredisca}] \end{aligned}$$

$$\begin{aligned} \text{stolpnica1\_od\_masnega\_sredisca} &= p_{12} - \text{COM}f \\ \text{AMV1} &= \text{stolpnica1\_anatomski}[FG\_A] * [\text{stolpnica1\_od\_masnega\_sredisca}] \end{aligned}$$

$$\begin{aligned} \text{stolpnica5\_od\_masnega\_sredisca} &= p_{13} - \text{COM}f \\ \text{AMV5} &= \text{stolpnica5\_anatomski}[FG\_A] * [\text{stolpnica5\_od\_masnega\_sredisca}] \end{aligned}$$

S pomočjo markerjev v anatomskem sistemu smo dobili markerski sistem. Ta sistem je konstanta in preslika koordinate iz markerskega sistema v anatomski. Sistem smo definirali na naslednji način:

$$\begin{aligned} X_m &= \text{AMV5} - \text{AHVF} \\ A_v &= \text{AMV1} - \text{AHVF} \\ Y_m &= X_m \times A_v \\ Z_m &= Y_m \times X_m \end{aligned}$$

Vektorje smo pretvorili v enotne in zapisali v matrični obliki:

$$FM\_A = \begin{bmatrix} X_x & Y_x & Z_x \\ X_y & Y_y & Z_y \\ X_z & Y_z & Z_z \end{bmatrix}$$



Potrebujemo še razdaljo od masnega središča do proksimalnega in distalnega konca segmenta. Ti razdalji sta ročici, ki ju moramo upoštevati pri računanju navorov v  $x$  in  $y$  smer. Določene so kot velikost vektorja v anatomskem sistemu. Dolžina distalne ročice je

$$\text{stopalo}D = \sqrt{APVF^2},$$

ter dolžina proksimalne ročice je

$$\text{stopalo}P = \sqrt{AAVF^2}$$

Nadaljevali smo z goleni. Na podoben način smo definirali anatomski sistem,  $Zan$  os je vektor, ki povezuje gleženj in koleno (pozitiven proksimalno),  $Yan$  os je vektor, ki povezuje lateralni in medialni maleol (pozitiven medialno). Ta vektor ni pravokoten na  $Zan$ , vendar ga bomo kasneje popravili. S tem smo ustvarili ravnino  $YZ$ ,  $Xan$  os je pravokotna na to ravnino (pozitivna anteriorno).

$$Yan = p_{10} - p_9$$

$$Zan = p_{Koleno} - p_{Glezenj}$$

$$Xan = Yan \times Zan$$

Na koncu smo popravili še  $Yan$ :

$$Yan = Zan \times Xan$$

Podobno kot pri stopalu, smo koordinate referenčnega sistema goleni pretvorili v enotne velikosti in zapisali v matriko  $SG\_A$  na isti način kot pri stopalu:

$$SG\_A = \begin{bmatrix} X_x & Y_x & Z_x \\ X_y & Y_y & Z_y \\ X_z & Y_z & Z_z \end{bmatrix}$$

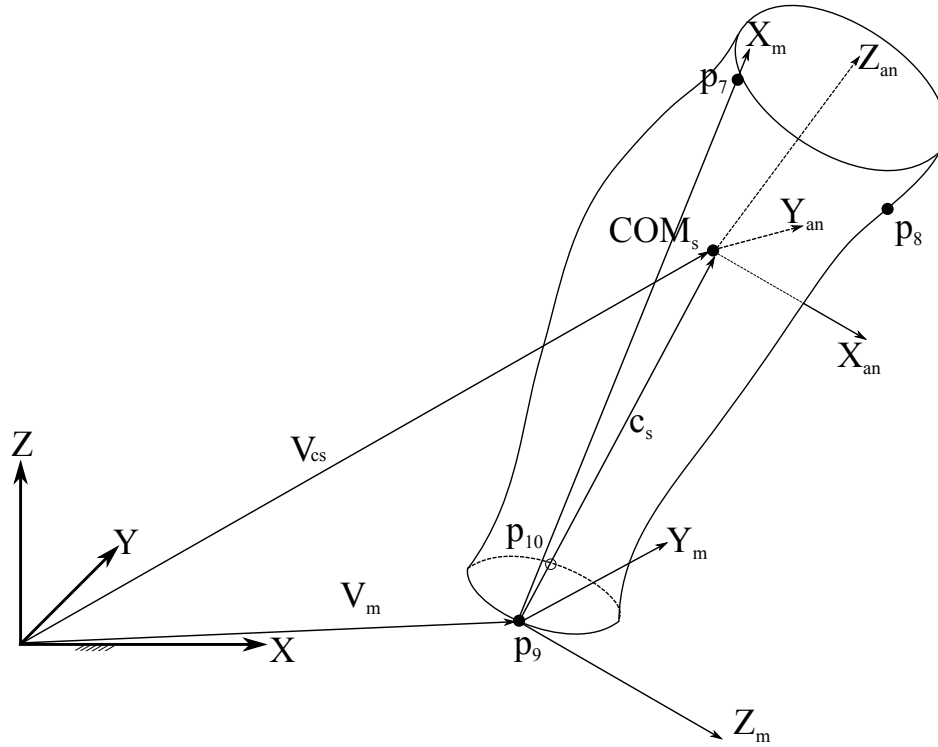
Nadaljevali smo z računanjem lokalnih koordinat gležnja in kolena ter treh sledilnih markerjev ( $p_7$ ,  $p_8$  in  $p_9$ ). Tu obravnavamo golen in potrebno je ponovno izračunati lokalne koordinate gležnja, saj nas zanima, kje se nahaja glede na masno središče goleni.

Lokalne koordinate smo izračunali na podoben način kot pri stopalu z razliko, da smo sedaj uporabljali enoten sistem goleni, ki je zapisan v matriki  $SG\_A$ .

$$\text{glezenj\_od\_masnega\_sredisca} = p_{Glezenj} - COMs$$

---

<sup>5</sup>Vir: Lasten vir

Slika 5: Koordinatni sistem goleni.<sup>5</sup>

$$AAVS = \text{glezenj\_anatomski}[SG\_A] * [\text{glezenj\_od\_masnega\_sredisca}]$$

Postopek smo ponovili za koleno in markerje na lateralnem maleolu, glavi mečnice in grčevine.

$$\text{koleno\_od\_masnega\_sredisca} = p_{\text{Koleno}} - COMs$$

$$AKVS = \text{koleno\_anatomski}[SG\_A] * [\text{koleno\_od\_masnega\_sredisca}]$$

$$\text{lateralni\_maleol\_od\_masnega\_sredisca} = p_9 - COMs$$

$$AMVS = \text{lateralni\_maleol\_anatomski}[SG\_A] * [\text{lateralni\_maleol\_od\_masnega\_sredisca}]$$

$$\text{mecnica\_od\_masnega\_sredisca} = p_7 - COMs$$

$$AFVS = \text{mecnica\_anatomski}[SG\_A] * [\text{mecnica\_od\_masnega\_sredisca}]$$

$$\text{medialni\_maleol\_od\_masnega\_sredisca} = p_{10} - COMs$$

$$AmVS = \text{medialni\_maleol\_anatomski}[SG\_A] * [\text{medialni\_maleol\_od\_masnega\_sredisca}]$$

Na koncu smo definirali še konstanten markerski sistem, da lahko preslikamo koordinate iz markerskega sistema v anatomske. Sistem smo definirali na naslednji način:

$$Xm = AFVS - AMVS$$

$$Av = AmVS - AMVS$$

$$Zm = Av \times Xm$$

$$Ym = Xm \times Zm$$

Vektorje smo pretvorili v enotne in zapisali v matrični obliki:

$$SM\_A = \begin{bmatrix} X_x & Y_x & Z_x \\ X_y & Y_y & Z_y \\ X_z & Y_z & Z_z \end{bmatrix}$$

Potrebujemo še dolžino distalne in proksimalne ročice. Izračunamo jih podobno kot pri stopalu:

$$golenD = \sqrt{AAVS^2}$$

je dolžina distalne ročice in

$$golenP = \sqrt{AKVS^2}$$

je dolžina proksimalne ročice.

Na podoben način smo definirali stegno.  $Zan$  je vektor, ki povezuje koleno in kolk (pozitiven proksimalno),  $Yan$  je vektor, ki povezuje lateralni in medialni kondil (pozitiven medialno). S tem smo ustvarili ravnino  $YZ$ ,  $Xan$  os je pravokotna na to ravnino (pozitivna anteriorno).

$$Yan = p_6 - p_5$$

$$Zan = pKolk - pKoleno$$

$$Xan = Yan \times Zan$$

Na koncu smo popravili še  $Yan$ :

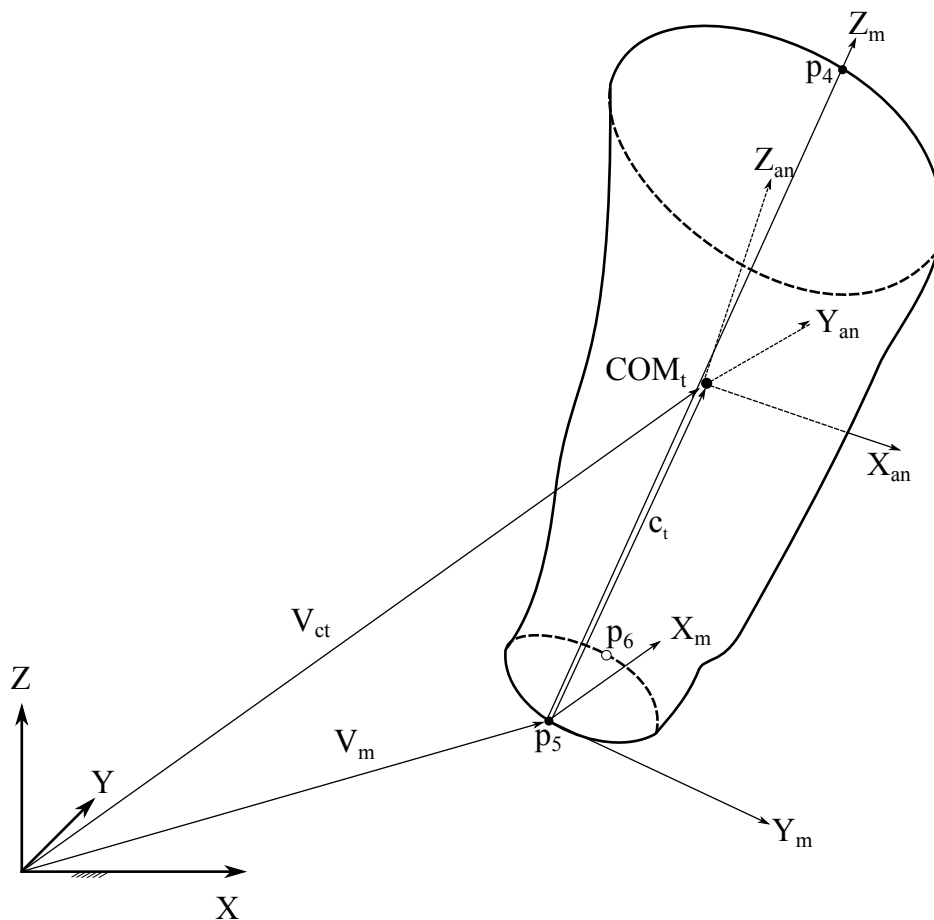
$$Yan = Zan \times Xan$$

Koordinate referenčnega sistema stegna smo pretvorili v enotne velikosti in zapisali v matriko  $TG\_A$ .

$$TG\_A = \begin{bmatrix} X_x & Y_x & Z_x \\ X_y & Y_y & Z_y \\ X_z & Y_z & Z_z \end{bmatrix}$$

---

<sup>6</sup>Vir: Lasten vir

Slika 6: Koordinatni sistem stegna.<sup>6</sup>

Nadaljevali smo z računanjem lokalnih koordinat kolena in kolka ter treh sledilnih markerjev na trohanterju ter lateralnem in medialnem kondilu ( $p_4$ ,  $p_5$  in  $p_6$ ).

$$kolk\_od\_masnega\_sredisca = pKolk - COMt$$

$$AHVT = kolk\_anatomski[TG\_A] * [kolk\_od\_masnega\_sredisca]$$

$$koleno\_od\_masnega\_sredisca = pKoleno - COMt$$

$$AKVT = koleno\_anatomski[TG\_A] * [koleno\_od\_masnega\_sredisca]$$

$$lateralni\_kondil\_od\_masnega\_sredisca = p_5 - COMt$$

$$ACVT = lateralni\_kondil\_anatomski[TG\_A] * [lateralni\_kondil\_od\_masnega\_sredisca]$$

$$trohanter\_od\_masnega\_sredisca = p_4 - COMt$$

$$ATVT = trohanter\_anatomski[TG\_A] * [trohanter\_od\_masnega\_sredisca]$$

$$medialni\_kondil\_od\_masnega\_sredisca = p_6 - COMt$$

$$AcVT = medialni\_kondil\_anatomski[TG\_A] * [medialni\_kondil\_od\_masnega\_sredisca]$$

Na koncu smo definirali še konstanten markerski sistem:

$$Zm = ATVT - ACVT$$

$$Av = AcVT - ACVT$$

$$Ym = Av \times Zm$$

$$Xm = Zm \times Ym$$

Vektorje smo pretvorili v enotne in zapisali v matrični obliki:

$$TM\_A = \begin{bmatrix} X_x & Y_x & Z_x \\ X_y & Y_y & Z_y \\ X_z & Y_z & Z_z \end{bmatrix}$$

Izračunali smo še dolžino distalne in proksimalne ročice:

$$stegnoD = \sqrt{AKVT^2}$$

je dolžina distalne ročice in

$$stegnoP = \sqrt{AHVT^2}$$

je dolžina proksimalne ročice.

S tem smo končali kalibracijsko fazo. Določili smo vse anatomske in markerske sisteme, potrebne za 3D inverzno dinamiko spodnjih ekstremitet, ter v kakšnem odnosu so ti sistemi glede na globalni sistem.

### 3.3.2 Glavne meritve

Nadaljevali smo z meritvenim postopkom. Potrebujemo še matriko, ki slika iz globalnega sistema v markerski ( $G\_M$ ). Ta matrika je časovno potratna, saj se spreminja ves čas in jo moramo posledično računati za vsaki okvir. Na koncu moramo še pomnožiti matriki  $G\_M$  in konstantno matrico ( $FM\_A$  za stopalo,  $SM\_A$  za golen in  $TM\_A$  za stegno), da dobimo matriko  $G\_A$ , ki slika globalne koordinate v anatomske koordinate

segmenta. V matriki  $G\_A$  so "shranjeni" trije Cardanovi rotacijski koti, ki jih potrebujemo za izračun kotnih hitrosti segmenta v  $x$ ,  $y$  in  $z$  smer [26]. Matrika je zapisana v naslednji obliki:

$$G\_A = \begin{bmatrix} \cos\theta_2\cos\theta_3 & \sin\theta_3\cos\theta_1 + \sin\theta_1\sin\theta_2\cos\theta_3 & \sin\theta_1\sin\theta_3 - \cos\theta_1\sin\theta_2\cos\theta_3 \\ -\cos\theta_2\sin\theta_3 & \cos\theta_1\cos\theta_3 - \sin\theta_1\sin\theta_2\sin\theta_3 & \sin\theta_1\cos\theta_3 - \cos\theta_1\sin\theta_2\sin\theta_3 \\ \sin\theta_2 & -\sin\theta_1\cos\theta_2 & \cos\theta_1\cos\theta_2 \end{bmatrix}$$

Pri računanju te matrike uporabljamo iste markerje in iste osi kot pri računanju matrike (v kalibracijski fazi), ki slika markerski v anatomske sistem ( $FM\_A$ ,  $SM\_A$  oz.  $TM\_A$ ). Edina razlika je v tem, da pri računanju matrike  $G\_M$  uporabljamo globalne koordinate markerjev.

Najprej smo definirali markerski sistem pedala na  $i$ -tem okvirju,

$$Z_{m_i} = p_{18_i} - p_{17_i}$$

$$A_{v_i} = p_{16_i} - p_{17_i}$$

$$Y_{m_i} = Z_{m_i} \times A_{v_i}$$

$$X_{m_i} = Y_{m_i} \times Z_{m_i}$$

potem smo te vektorje pretvorili v enotne in jih zapisali v matriko  $G\_MP_i$ ,

$$G\_MP_i = \begin{bmatrix} X_{x_i} & Y_{x_i} & Z_{x_i} \\ X_{y_i} & Y_{y_i} & Z_{y_i} \\ X_{z_i} & Y_{z_i} & Z_{z_i} \end{bmatrix}$$

Ostane nam še, da pomnožimo matriki  $PM\_A$  in  $G\_MP_i$ ,

$$G\_AP_i = [PM\_A] * [G\_MP_i]$$

Nadaljevali smo z markerskim sistemom stopala na  $i$ -tem okvirju,

$$X_{m_i} = p_{13_i} - p_{11_i}$$

$$A_{v_i} = p_{12_i} - p_{11_i}$$

$$Y_{m_i} = X_{m_i} \times A_{v_i}$$

$$Z_{m_i} = Y_{m_i} \times X_{m_i}$$

Vektorje smo pretvorili v enotne in jih zapisali v matriko  $G\_MF_i$ ,

$$G\_MF_i = \begin{bmatrix} X_{x_i} & Y_{x_i} & Z_{x_i} \\ X_{y_i} & Y_{y_i} & Z_{y_i} \\ X_{z_i} & Y_{z_i} & Z_{z_i} \end{bmatrix}$$

Pomnožili smo matriki  $FM\_A$  in  $G\_MF_i$ , da dobimo matriko  $G\_AF_i$ ,

$$G\_AF_i = [FM\_A] * [G\_MF_i]$$

Iz dobljene matrike lahko izrazimo  $\theta_{1_i}$ ,  $\theta_{2_i}$ ,  $\theta_{3_i}$ . Dovolj je, da pogledamo samo tretjo vrstico in prvi stolpec, saj iz tretje vrstice dobimo  $\theta_{1_i}$  in  $\theta_{2_i}$  in potem iz prvega stolpca dobimo še  $\theta_{3_i}$ .

Z vektorjem  $V_{cf_i}$  smo označili koordinate masnega središča v globalnem sistemu. Ker smo definirali koordinatno izhodišče markerskega sistema stopala z markerjem  $p_{11_i}$  in vektor  $AHVF$  povezuje masno središče z markerjem  $p_{11_i}$  v lokalnem sistemu je masno središča stopala seštevek teh dveh vektorjev. Vektorju  $AHVF$  smo spremenili smer in pomnožili z matriko  $AF\_G_i$ , ki je transponirana matrika  $G\_AF_i$ , da dobimo koordinate v globalnem sistemu. Naj bo,

$$cf_i = [A\_G_i] * [-AHVF]$$

potem ima masno središče stopala koordinate:

$$V_{cf_i} = p_{11_i} + cf_i$$

Linearne pospeške masnega središča stopala v globalnem sistemu na  $i$ -tem okvirju je:

$$a_{fX_i} = (X_{i+1} - 2X_i + X_{i-1})/\Delta t^2$$

$$a_{fY_i} = (Y_{i+1} - 2Y_i + Y_{i-1})/\Delta t^2$$

$$a_{fZ_i} = (Z_{i+1} - 2Z_i + Z_{i-1})/\Delta t^2$$

pri čemer so  $X$ ,  $Y$  in  $Z$  koordinate  $V_{cf_i}$  v  $x$ ,  $y$  in  $z$  smer. Ker smo sile računali v globalnem sistemu, morajo tudi pospeški masnega središča biti v globalnem sistemu.

Kotno hitrost smo izračunali v lokalnem sistemu po formuli:

$$\omega_i = \begin{bmatrix} \omega_{fx_i} \\ \omega_{fy_i} \\ \omega_{fz_i} \end{bmatrix} = \begin{bmatrix} \cos\theta_{2_i}\cos\theta_{3_i} & \sin\theta_{3_i} & 0 \\ -\cos\theta_{2_i}\sin\theta_{3_i} & \cos\theta_{3_i} & 0 \\ \sin\theta_{2_i} & 0 & 1 \end{bmatrix} \begin{bmatrix} \dot{\theta}_{1_i} \\ \dot{\theta}_{2_i} \\ \dot{\theta}_{3_i} \end{bmatrix}$$

pri čemer so  $\dot{\theta}_{1_i}$ ,  $\dot{\theta}_{2_i}$  in  $\dot{\theta}_{3_i}$  prvi odvodi Cardanovih kotov. Kotni pospešek smo izračunali na naslednji način,

$$\alpha_{fx_i} = (\omega_{fx_{i+1}} - \omega_{fx_{i-1}})/2\Delta t$$

$$\alpha_{fy_i} = (\omega_{fy_{i+1}} - \omega_{fy_{i-1}})/2\Delta t$$

$$\alpha_{fz_i} = (\omega_{fz_{i+1}} - \omega_{fz_{i-1}})/2\Delta t$$

Postopek smo ponovili za golen. Koordinatni sistem goleni smo definirali na naslednji način:

$$X_{m_i} = p_{7_i} - p_{9_i}$$

$$A_{v_i} = p_{10_i} - p_{9_i}$$

$$Z_{m_i} = A_{v_i} \times X_{m_i}$$

$$Y_{m_i} = X_{m_i} \times Z_{m_i}$$

Sistem smo poenotili in zapisali v matriko  $G\_MS_i$  na isti način kot pri stopalu.

$$G\_MS_i = \begin{bmatrix} X_{x_i} & Y_{x_i} & Z_{x_i} \\ X_{y_i} & Y_{y_i} & Z_{y_i} \\ X_{z_i} & Y_{z_i} & Z_{z_i} \end{bmatrix}$$

Ostane nam še, da pomnožimo matriki  $SM\_A$  in  $G\_MS_i$ ,

$$G\_AS_i = [SM\_A] * [G\_MS_i]$$

Vektor  $V_{cs_i}$  označuje koordinate masnega središča goleni na  $i$ -tem okvirju v globalnem sistemu. Podobno kot prej, koordinatno izhodišče markerskega sistema goleni je  $p_{9_i}$  in vektor  $ACVS$  povezuje masno središče goleni z markerjem  $p_{9_i}$ . Vektor  $cs_i$  je enak

$$cs_i = [AS\_G_i] * [-AMVS]$$

in masno središče ima koordinate:

$$V_{cs_i} = p_{9_i} + cs_i$$

Linearni pospešek masnega središča v globalnem sistemu na  $i$ -tem okvirju izračunamo na isti način kot pri stopalu, pri čemer uporabljamo koordinate masnega središča goleni:

$$a_{sX_i} = (X_{i+1} - 2X_i + X_{i-1})/\Delta t^2$$

$$a_{sY_i} = (Y_{i+1} - 2Y_i + Y_{i-1})/\Delta t^2$$

$$a_{sZ_i} = (Z_{i+1} - 2Z_i + Z_{i-1})/\Delta t^2$$

Kotno hitrost in pospešek smo izračunali na isti način kot pri stopalu:

$$\omega_i = \begin{bmatrix} \omega_{sx_i} \\ \omega_{sy_i} \\ \omega_{sz_i} \end{bmatrix} = \begin{bmatrix} \cos\theta_{2_i}\cos\theta_{3_i} & \sin\theta_{3_i} & 0 \\ -\cos\theta_{2_i}\sin\theta_{3_i} & \cos\theta_{3_i} & 0 \\ \sin\theta_{2_i} & 0 & 1 \end{bmatrix} \begin{bmatrix} \dot{\theta}_{1_i} \\ \dot{\theta}_{2_i} \\ \dot{\theta}_{3_i} \end{bmatrix}$$

$$\alpha_{sx_i} = (\omega_{sx_{i+1}} - \omega_{sx_{i-1}})/2\Delta t$$



$$\alpha_{sy_i} = (\omega_{sy_{i+1}} - \omega_{sy_{i-1}})/2\Delta t$$

$$\alpha_{sz_i} = (\omega_{sz_{i+1}} - \omega_{sz_{i-1}})/2\Delta t$$

Podoben postopek smo ponovili za stegno:

$$Z_{m_i} = p_{4_i} - p_{5_i}$$

$$A_{v_i} = p_{6_i} - p_{5_i}$$

$$Y_{m_i} = A_{v_i} \times Z_{m_i}$$

$$X_{m_i} = Z_{m_i} \times Y_{m_i}$$

Sistem smo poenotili in zapisali v matriko  $G\_MT_i$ :

$$G\_MT_i = \begin{bmatrix} X_{x_i} & Y_{x_i} & Z_{x_i} \\ X_{y_i} & Y_{y_i} & Z_{y_i} \\ X_{z_i} & Y_{z_i} & Z_{z_i} \end{bmatrix}$$

Na koncu smo še pomnožili matriki  $TM\_A$  in  $G\_MT_i$ :

$$G\_AT_i = [TM\_A] * [G\_MT_i]$$

Vektor  $V_{cs_i}$  označuje koordinate masnega središča stegna na  $i$ -tem okvirju v globalnem sistemu. Koordinatno izhodišče markerskega sistema stegna je  $p_{5_i}$  in vektor  $ACVT$  povezuje masno središče stegna z markerjem  $p_{5_i}$ . Vektor  $ct_i$  je enak,

$$ct_i = [AT\_G_i] * [-ACVT]$$

in masno središče je:

$$V_{cs_i} = p_{5_i} + cs_i$$

Linearni pospešek masnega središča v globalnem sistemu na  $i$ -tem okvir je:

$$a_{tX_i} = (X_{i+1} - 2X_i + X_{i-1})/\Delta t^2$$

$$a_{tY_i} = (Y_{i+1} - 2Y_i + Y_{i-1})/\Delta t^2$$

$$a_{tZ_i} = (Z_{i+1} - 2Z_i + Z_{i-1})/\Delta t^2$$

Kotno hitrost in pospešek smo izračunali po formuli:

$$\omega_i = \begin{bmatrix} \omega_{tx_i} \\ \omega_{ty_i} \\ \omega_{tz_i} \end{bmatrix} = \begin{bmatrix} \cos\theta_{2_i}\cos\theta_{3_i} & \sin\theta_{3_i} & 0 \\ -\cos\theta_{2_i}\sin\theta_{3_i} & \cos\theta_{3_i} & 0 \\ \sin\theta_{2_i} & 0 & 1 \end{bmatrix} \begin{bmatrix} \dot{\theta}_{1_i} \\ \dot{\theta}_{2_i} \\ \dot{\theta}_{3_i} \end{bmatrix}$$

$$\alpha_{tx_i} = (\omega_{tx_{i+1}} - \omega_{tx_{i-1}}) / 2\Delta t$$

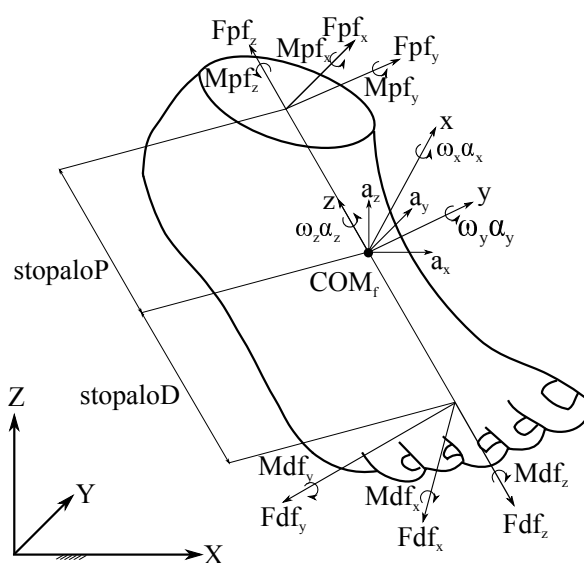
$$\alpha_{ty_i} = (\omega_{ty_{i+1}} - \omega_{ty_{i-1}}) / 2\Delta t$$

$$\alpha_{tz_i} = (\omega_{tz_{i+1}} - \omega_{tz_{i-1}}) / 2\Delta t$$

S tem smo zaključili obdelavo kinematičnih podatkov. V nadaljevanju smo dodali še kinetične podatke in izračunali sile ter navore v gležnju, nazadnje še v kolenskem sklepu.

### 3.4 Kinetika

Sile smo računali v globalnem sistemu z drugim Newtonovim zakonom. To smo lahko naredili, ker smo izmerjene sile in navore na pedalu, najprej pretvorili v globalni sistem s pomočjo referenčnega sistema na pedalu. Navore smo računali v lokalnem sistemu. Na slikah 7, 8 in 9 so prikazane rešitve 3D inverzne dinamike za segmente stopala, goleni in stegna.



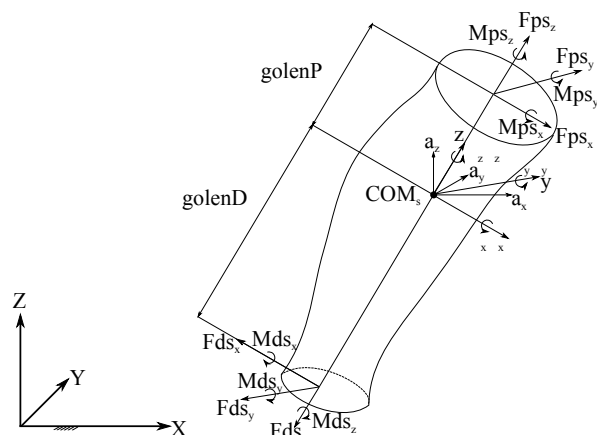
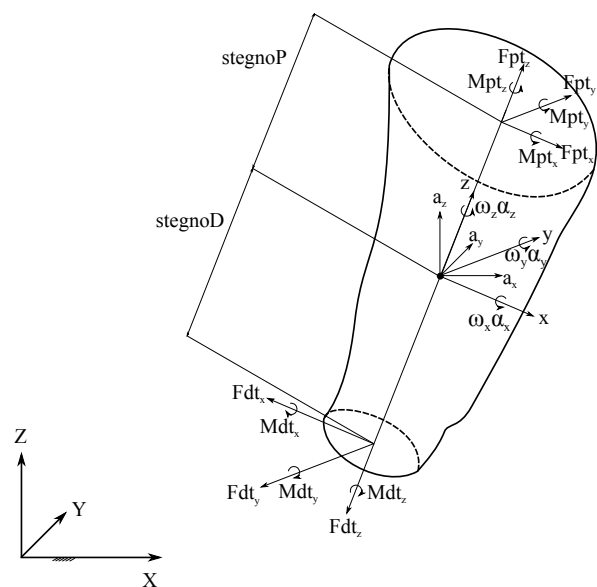
Slika 7: 3D rešitev inverzne dinamike stopala.<sup>7</sup>

Najprej smo pretvorili sile in navore iz lokalnega sistema pedala v globalni sistem, tako da smo pomnožili matriko  $AP_G_i$  na  $i$ -tem okvirju s silami in navori na  $i$ -tem okvirju:

<sup>7</sup>Vir: Lasten vir

<sup>8</sup>Vir: Lasten vir

<sup>9</sup>Vir: Lasten vir

Slika 8: 3D rešitev inverzne dinamike goleni.<sup>8</sup>Slika 9: 3D rešitev inverzne dinamike stegna.<sup>9</sup>

$$\begin{bmatrix} FPp_{X_i} \\ FPp_{Y_i} \\ FPp_{Z_i} \end{bmatrix} = [AP\_G_i] * \begin{bmatrix} F_x \\ F_y \\ F_z \end{bmatrix}$$

pri čemer so  $F_x$ ,  $F_y$  in  $F_z$  izmerjene sile na pedalu. Podobno smo pretvorili navor v globalni sistem:

$$\begin{bmatrix} MPp_{X_i} \\ MPp_{Y_i} \\ MPp_{Z_i} \end{bmatrix} = [AP\_G_i] * \begin{bmatrix} Tx \\ Ty \\ Tz \end{bmatrix}$$

pri čemer so  $T_x$ ,  $T_y$  in  $T_z$  izmerjeni navori na pedalu. V našem primeru je navor

$Ty$  enak nič, saj  $y$  os je os vzdolž osovine pedala in posledično okoli te osi ni navora.

### 3.4.1 Sile

Po drugem Newtonovem zakonu je  $\Sigma F = ma$ . Iz tega sledi, da je  $F_P - F_D = ma$ , pri čemer  $P$  in  $D$  označujeta proksimalno oz. distalno silo segmenta.

Proksimalne sile stopala v  $X$ ,  $Y$  in  $Z$  smer v globalnem sistemu smo izračunali na naslednji način:

$$FPf_{X_i} = m_f * a_{X_i} + FPP_{X_i}$$

$$FPf_{Y_i} = m_f * a_{Y_i} + FPP_{Y_i}$$

$$FPf_{Z_i} = m_f * a_{Z_i} + FPP_{Z_i}$$

pri čemer je  $m_f$  masa stopala,  $a_{X_i}$ ,  $a_{Y_i}$  in  $a_{Z_i}$  so linearni pospeški,  $FPP_{X_i}$ ,  $FPP_{Y_i}$  in  $FPP_{Z_i}$  so izmerjene sile na  $i$ -tem okvirju v  $X$ ,  $Y$  in  $Z$  smer v globalne sistemu. Na koncu smo še pretvorili proksimalne in distalne sile v lokalni sistem. Za proksimalne sile velja:

$$\begin{bmatrix} Fpf_{X_i} \\ Fpf_{Y_i} \\ Fpf_{Z_i} \end{bmatrix} = [G_{AF_i}] * \begin{bmatrix} FPF_{X_i} \\ FPF_{Y_i} \\ FPF_{Z_i} \end{bmatrix}$$

in za distalne sile velja:

$$\begin{bmatrix} Fdf_{X_i} \\ Fdf_{Y_i} \\ Fdf_{Z_i} \end{bmatrix} = [G_{AF_i}] * \begin{bmatrix} FPP_{X_i} \\ FPP_{Y_i} \\ FPP_{Z_i} \end{bmatrix}$$

Na podoben način smo izračunali proksimalne sile golena:

$$FPS_{X_i} = m_s * a_{X_i} + FPF_{X_i}$$

$$FPS_{Y_i} = m_s * a_{Y_i} + FPF_{Y_i}$$

$$FPS_{Z_i} = m_s * a_{Z_i} + FPF_{Z_i}$$

pri čemer je  $m_s$  masa goleni,  $a$  so pospeški v  $X$ ,  $Y$  in  $Z$  smer in  $FPf$  so proksimalne sile goleni v globalnem sistemu. Proksimalne in distalne sile goleni v lokalnem sistemu smo izračunali na naslednji način:

$$\begin{bmatrix} Fps_{X_i} \\ Fps_{Y_i} \\ Fps_{Z_i} \end{bmatrix} = [G_{AS_i}] * \begin{bmatrix} FPS_{X_i} \\ FPS_{Y_i} \\ FPS_{Z_i} \end{bmatrix}$$

$$\begin{bmatrix} Fds_{X_i} \\ Fds_{Y_i} \\ Fds_{Z_i} \end{bmatrix} = [G\_AS_i] * \begin{bmatrix} FPS_{X_i} \\ FPS_{Y_i} \\ FPS_{Z_i} \end{bmatrix}$$

Podobno smo izračunali sile za stegno:

$$FPt_{X_i} = m_t * a_{X_i} + FPS_{X_i}$$

$$FPt_{Y_i} = m_t * a_{Y_i} + FPS_{Y_i}$$

$$FPt_{Z_i} = m_t * a_{Z_i} + FPS_{Z_i}$$

pri čemer je  $m_t$  masa stegna,  $a$  so pospeški v  $X$ ,  $Y$  in  $Z$  smer,  $FPS$  so proksimalne sile stegna v globalnem sistemu. Proksimalne in distalne sile stegna smo izračunali na naslednji način:

$$\begin{bmatrix} Fpt_{X_i} \\ Fpt_{Y_i} \\ Fpt_{Z_i} \end{bmatrix} = [G\_AT_i] * \begin{bmatrix} FPt_{X_i} \\ FPt_{Y_i} \\ FPt_{Z_i} \end{bmatrix}$$

$$\begin{bmatrix} Fdt_{X_i} \\ Fdt_{Y_i} \\ Fdt_{Z_i} \end{bmatrix} = [G\_AT_i] * \begin{bmatrix} FPt_{X_i} \\ FPt_{Y_i} \\ FPt_{Z_i} \end{bmatrix}$$

S tem smo izračunali vse potrebne spremenljivke, da izračunamo proksimalne in distalne navore.

### 3.4.2 Navori

Kot je bilo prej omenjeno, smo navore računali v lokalnem sistemu. Pomembno je, da so vse spremenljivke, ki so potrebne za računanje navora, tudi v lokalnem sistemu. Uporabljali smo Eulerjeve 3D enačbe gibanja za segment. V splošnem velja:

$$I_x \alpha_x + (I_y - I_z) \omega_z \omega_y = \Sigma M_x = F_{y_d} l_d + F_{y_p} l_p + M_{x_p} - M_{x_d}$$

$$I_y \alpha_y + (I_z - I_x) \omega_x \omega_z = \Sigma M_y = F_{x_d} l_d + F_{x_p} l_p + M_{y_p} - M_{y_d}$$

$$I_z \alpha_z + (I_x - I_y) \omega_x \omega_y = \Sigma M_z = M_{z_p} - M_{z_d}$$

pri čemer je  $I_x$ ,  $I_y$  in  $I_z$  vztrajnostni moment,  $\omega_x$ ,  $\omega_y$  in  $\omega_z$  so kotne hitrosti okoli  $x$ ,  $y$  in  $z$  osi,  $\alpha_x$ ,  $\alpha_y$  in  $\alpha_z$  so kotni pospeški okoli  $x$ ,  $y$  in  $z$  osi,  $M_{x_d}$ ,  $M_{y_d}$  in  $M_{z_d}$  so distalni navori okoli  $x$ ,  $y$  in  $z$  osi,  $F_{x_d}$ ,  $F_{x_p}$ ,  $F_{y_d}$ ,  $F_{y_p}$ ,  $F_{z_d}$  in  $F_{z_p}$  so reakcijske sile na distalnem in proksimalnem sklepu v  $x$ ,  $y$  in  $z$  smer.  $l_p$  in  $l_d$  sta razdalji od masnega središča do

proksimalnega oz. distalnega sklepa.

Proksimalne navore stopala smo izračunali na naslednji način:

$$Mpf_{x_i} = If_x \alpha_{f_{x_i}} + (If_y - If_z) \omega_{f_{z_i}} \omega_{f_{y_i}} - Fdf_{y_i} stopaloD - Fpf_{y_i} stopaloP + Mdf_{x_i}$$

$$Mpf_{y_i} = If_y \alpha_{f_{y_i}} + (If_z - If_x) \omega_{f_{x_i}} \omega_{f_{z_i}} - Fdf_{x_i} stopaloD - Fpf_{x_i} stopaloP + Mdf_{y_i}$$

$$Mpf_{z_i} = If_z \alpha_{f_{z_i}} + (If_x - If_y) \omega_{f_{x_i}} \omega_{f_{y_i}} + Mdf_{z_i}$$

Podobno smo izračunali navore v goleni:

$$Mps_{x_i} = Is_x \alpha_{s_{x_i}} + (Is_y - Is_z) \omega_{s_{z_i}} \omega_{s_{y_i}} - Fds_{y_i} golenD - Fps_{y_i} golenP + Mds_{x_i}$$

$$Mps_{y_i} = Is_y \alpha_{s_{y_i}} + (Is_z - Is_x) \omega_{s_{x_i}} \omega_{s_{z_i}} - Fds_{x_i} golenD - Fps_{x_i} golenP + Mds_{y_i}$$

$$Mps_{z_i} = Is_z \alpha_{s_{z_i}} + (Is_x - Is_y) \omega_{s_{x_i}} \omega_{s_{y_i}} + Mds_{z_i}$$

In na koncu še za stegno velja:

$$Mpt_{x_i} = It_x \alpha_{t_{x_i}} + (It_y - It_z) \omega_{t_{z_i}} \omega_{t_{y_i}} - Fdt_{y_i} stegnoD - Fpt_{y_i} stegnoP + Mdt_{x_i}$$

$$Mpt_{y_i} = It_y \alpha_{t_{y_i}} + (It_z - It_x) \omega_{t_{x_i}} \omega_{t_{z_i}} - Fdt_{x_i} stegnoD - Fpt_{x_i} stegnoP + Mdt_{y_i}$$

$$Mpt_{z_i} = It_z \alpha_{t_{z_i}} + (It_x - It_y) \omega_{t_{x_i}} \omega_{t_{y_i}} + Mdt_{z_i}$$

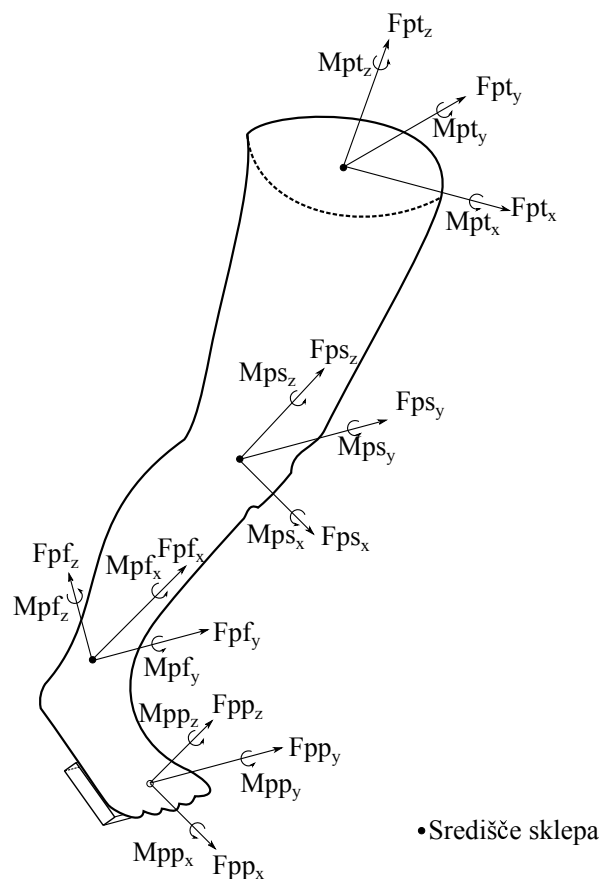
S tem smo opisali 3D rešitev inverzne dinamike spodnjih ekstremitet med kolesarjenjem. Na sliki 10 je prikazana desna noga in koordinatni sistemi v sklepih oz., v katero smer delujejo sile in navori v sklepih.

### 3.5 Testni postopek

V raziskavi sta prostovoljno sodelovala 2 kolesarja. Povprečna starost merjenca je bila 26,5 let  $\pm$  3,5, povprečno sta bila visoka 1.775 m  $\pm$  0,15 in povprečno težka 75,25 kg  $\pm$  10,5 kg.

---

<sup>10</sup>Vir: Lasten vir

Slika 10: 3D rešitev inverzne dinamike spodnjih ekstremitet.<sup>10</sup>

Preiskovanca sta koelsarila na lastnem kolesu, vpetem na kolesarski ergometer (Elite Drivo, Terviso, Italija), ki omogoča regulacijo konstantne izhodne moči. Po petminutnem ogrevanju je sledila glavna meritev. Kolesarila sta dvakrat po eno minuto. Moč je bila 75% od maksimalne moči, dosežene na obremenilnem testu (povprečno  $235 \pm 15$  W).

Za merjenje proizvedenih sil in navora (kinetika) smo uporabljali pedala Forped (Znanost v kolesarstvo, d.o.o., Ljubljana, Slovenija), ki sta bila povezana s programsko opremo (ARS Free Measurement) na računalniku. Pedal omogoča izračun sil v vseh treh smereh vektorskega prostora in izračun navora okrog vertikalne in prečne osi. Podatki kinematike so bili zajeti s pomočjo šestih visokofrekvenčnih tridimenzionalnih kamer (NDI, Certus, Waterloo, Kanada) s frekvenco zajema 128 Hz, medtem ko je bila frekvenca kinetike 1000 Hz. Vsi podatki so bili sinhronizirani in poravnani na frekvenco 1000 Hz, frekvenčno filtrirani (mejna frekvenca kinetike 8 Hz, kinematike 12 Hz; Butterworth, četrty red).

Nominalne kapacitete pedala:

- sila vertikalno (pozitivna) – 2000 N;

- sila vertikalno (negativna) – 450 N;
- sila v smeri levo-desno in naprej-nazaj – 300 N;
- navor okrog prečne osi – 10 Nm;
- navor okrog vertikalne osi – 6.5 Nm.



## 4 Rezultati z diskusijo

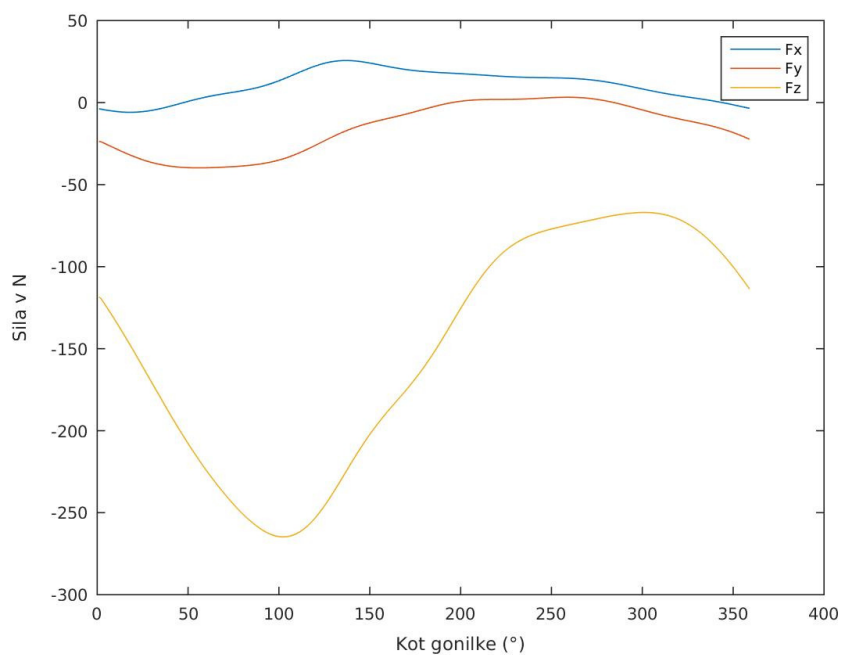
Zaradi lažjega razumevanja rezultatov so na slikah 11-14 predstavljene povprečne vrednosti izmerjenih obremenitev na pedalu in izračunanih v kolenu za drugega merjenca (obe minuti). Vsi rezultati so prikazani v lokalnem koordinatnem sistemu pedal oz. goleni. Sile v kolenu so sile, ki jih ustvari stegno na goleni.

Tangencialna sila  $F_x$  na pedalu je pozitivna, ko nogo potiskamo naprej in negativna, ko jo potiskamo nazaj. Transverzalna sila  $F_y$  je negativna, ko nogo potiskamo navzven (aktivna faza) in pozitivna, ko jo potiskamo navznoter (pasivna faza). Normalna sila  $F_z$  je najpomembnejša z vidika učinkovitosti, saj ima največji učinek na poganjanje kolesa. Največjo vrednost ima, ko je kot gonilke približno  $90^\circ$ . Pozitivna sila  $F_x$  v kolenu nastane verjetno zaradi posteriorne translacije tibie na femur, medtem ko je negativna posledica anteriorne translacije. Posledica lateralne translacije je pozitivna sila  $F_y$  in medialne je negativna. Sila  $F_z$  razteguje sklep, ko je pozitivna in stiska, ko je negativna. Če primerjamo sliki 11 in 12 lahko zaključimo, da so sile na pedalu in v kolenu približno enakih smeri z majhnim zamikom. Do razlik v silah na pedalu in v kolenu lahko pride, ker koordinatna sistema nista isto usmerjena in se posledično sile na drugem segmentu drugače porazdelijo na komponente sil. Do razlike lahko pride tudi zaradi pospeškov goleni.

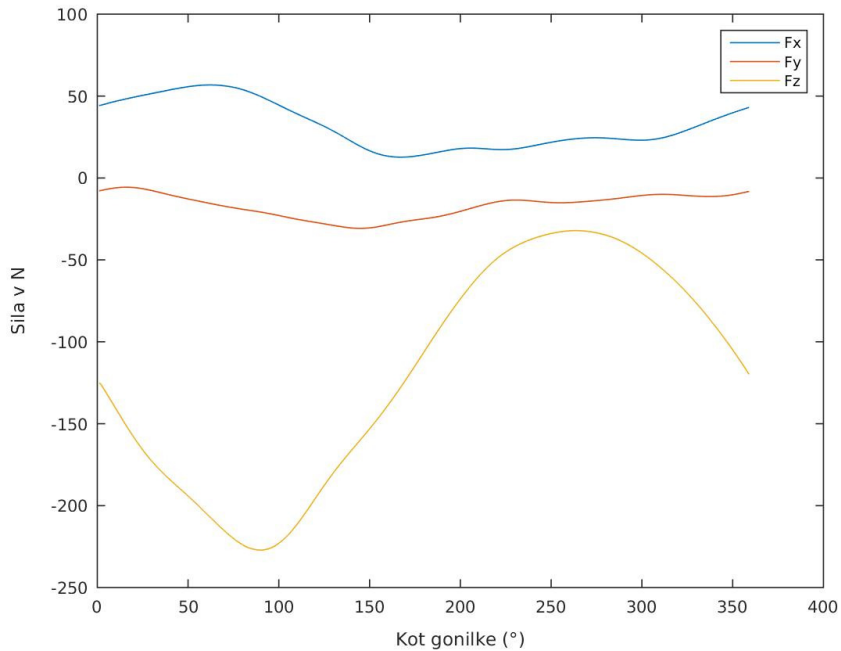
Tabela 4: Največje in najmanjše vrednosti sil na pedalu

Merjenec	Moč (W)	Pono- vitev	+Fx -Fx (N)		+Fx -Fx (kot°)		+Fy -Fy (N)		+Fy -Fy (kot°)		+Fz -Fz (N)		+Fz -Fz (kot°)	
1	250	1	47.16	-36.43	98	13	6.54	-34.27	151	60	0.09	-265.84	198	77
		2	57.01	-29.34	51	333	8.45	-40.88	112	21	-4.07	-294.55	159	37
2	220	1	23.05	-6.44	287	37	1.92	-44.46	342	243	-53.38	-261.79	3	264
		2	31.71	-18.07	219	163	10.68	-52.33	288	194	-20.76	-318.00	322	206
Povprečje	235	-	39.7	-22.6	163.8	136.5	6.9	-42.9	223.3	129.5	-19.5	-285.0	170.5	146
SD	21.2	-	15.2	13.1	108.4	146.6	3.7	7.5	109.4	105.9	24.3	26.4	131.5	106.7

Spremenljivost v največjih in najmanjših vrednostih sil na pedalu (tabela 4) znotraj merjenca je največja v vertikalni  $F_z$  komponenti (29 N pri prvem oz. 56 N pri drugem merjencu), medtem ko je spremenljivost v ostalih komponentah manjša (manj kot 10 N). Položaj gonilke glede na največje in najmanjše vrednosti je znotraj merjenca podoben, vendar še vedno so razlike občutjive za določene komponente. Pri prvem merjencu je razlika v kotu gonilke za negativno silo  $F_x$   $126^\circ$ , podobno je tudi pri drugem. Spremenljivost med merjencema je velika.



Slika 11: Sile na pedalu (merjenec 2)



Slika 12: Sile v kolenu (merjenec 2)

Spremenljivost v kolenu (tabela 5) je največja za pozitivno silo  $F_x$  (30 N pri prvem oz. 44 N pri drugem merjencu), sila  $F_z$  v kolenu je manj spremenljiva kot tista, izmer-

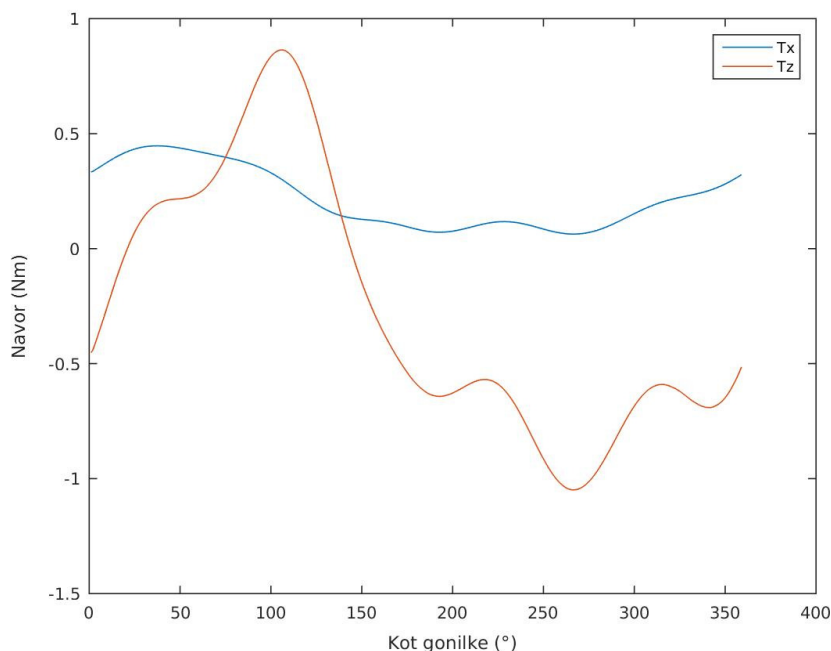
Tabela 5: Največje in najmanjše vrednosti sil v kolenu

Merjenec	Moč (W)	Pono- vitev	+Fx -Fx		+Fx -Fx		+Fy -Fy		+Fy -Fy		+Fz -Fz		+Fz -Fz	
			(N)		(kot°)		(N)		(kot°)		(N)		(kot°)	
1	250	1	103.29	-7.32	80	2	8.97	-14.85	21	62	-13.33	-197.09	190	87
		2	132.08	2.97	38	165	11.68	-19.51	340	20	-16.74	-218.12	154	44
2	220	1	89.87	7.98	256	9	-3.54	-28.86	20	279	-14.94	-239.78	1	255
		2	45.62	12.90	197	234	9.52	-41.36	157	221	-18.42	-268.76	318	201
Povprečje	235	-	92.7	4.1	142.7	102.5	6.6	-26.1	134.5	145.5	-15.9	-230.9	165.7	146.9
SD	21.2	-	36.0	8.6	101.1	115.5	6.9	11.7	151.4	124.2	2.2	30.7	130.4	97.6

jena na pedalu (21 N ter 29 N pri prvem oz. drugem merjencu). Glede na kot gonilke, je spremenljivost velika.

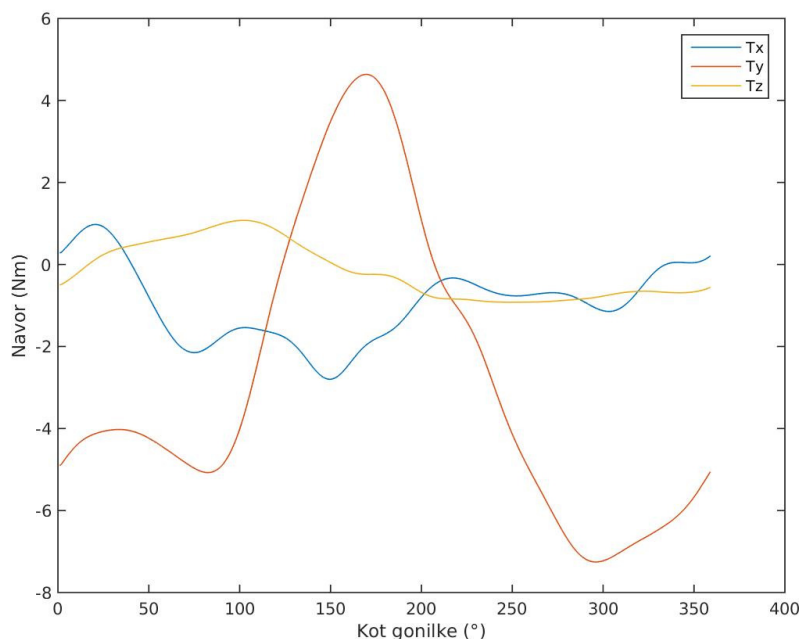
Na sliki 13 sta prikazana navora  $T_x$  in  $T_z$ . Do prvega pride zaradi notranjo/zunanje rotacije, drugi pa je posledica abdukcije/addukcije stopala na pedal.

Navori v kolenu so prikazani na sliki 14. Pozitiven  $T_x$  je posledica varus rotacije tibie na femur, negativen je posledica valgus rotacija tibie. Navor  $T_y$  je pozitiven v fleksiji noge in negativen v ekstenziji noge. Posledica zunanje rotacije tibie je pozitiven navor  $T_z$ , notranje je negativen.



Slika 13: Navor na pedalu (merjenec 2)

Iz tabele 6 lahko zaključimo, da je spremenljivost izmerjenih navrov na pedalu majhna, velika spremenljivost je v kotih gonilke. Podobno velja tudi za navore v kolenu (tabela 14). Spremenljivost navrov je večja, kot je na pedalu. Spremenljivost kota gonilke je približno ista, kot je na pedalu.



Slika 14: Navor v kolenu (merjenec 2)

Tabela 6: Največje in najmanjše vrednosti navorov na pedal

Merjenec	Moč (W)	Pono- vitev	+Mx -Mx (Nm)		+Mx -Mx (kot°)		+My -My (Nm)		+My -My (kot°)	
1	250	1	0.09	-0.38	183	20	1.19	-1.22	66	12
		2	0.14	-0.43	145	341	1.28	-1.45	22	332
2	220	1	0.54	0.09	238	350	1.09	-0.67	263	12
		2	0.50	-0.03	189	289	1.58	-1.67	205	327
Povprečje	235	-	0.3	-0.2	188.7	250	1.3	-1.3	139	170.7
SD	21.2	-	0.2	0.3	38.2	155.7	0.2	0.4	113.7	183.3

Tabela 7: Največje in najmanjše vrednosti navorov v kolenu

Merjenec	Moč (W)	Pono- vitev	+Mx -Mx (Nm)		+Mx -Mx (kot°)		+My -My (Nm)		+My -My (kot°)		+Mz -Mz (Nm)		+Mz -Mz (kot°)	
1	250	1	2.59	-1.72	19	72	1.40	-6.69	7	56	1.32	-1.22	67	6
		2	3.42	-2.04	339	30	0.47	-8.16	329	13	1.44	-1.42	24	327
2	220	1	-0.01	-3.25	344	272	4.52	-6.97	321	44	1.34	-0.88	265	349
		2	2.49	-3.59	159	223	4.75	-8.15	235	297	1.69	-1.60	205	327
Povprečje	235	-	2.1	-2.7	215.2	149.2	2.8	-7.5	223	102.5	1.4	-1.3	140.3	252.2
SD	21.2	-	1.5	0.9	156.6	116.5	2.2	0.8	150.2	130.9	0.2	0.3	113.5	164.5

Sila  $F_z$  je negativna skozi cel obrat, kar pomeni, da noga v aktivni fazi dviguje nogo, ki je v pasivni fazi. Podobno velja za prvega merjenca. Predpostavka, ki sta jo

imela Ruby in Hull, da je sila  $F_y$  v kolenu ista, kot je izmerjena na pedalu ne drži, saj je na slikah 11 in 12 očitno, da krivulji nista enaki [23].

Sile na pedalu in goleni (razen  $F_y$ ) so primerljive po amplitudi s prejšnjo študijo [23]. Do manjših odstopanj pride v faznem zamiku. Izmerjen navor  $T_x$  ni primerljiv, razlikuje se v amplitudi in smeri, medtem ko je  $T_z$  primerljiv [23]. Izračunani navori v kolenu so primerljivi samo po fazi za  $T_x$  in  $T_y$  komponento.

Pri interpretaciji rezultatov moramo biti previdni, saj lahko različna moč poganjanja vpliva na rezultate [3]. Lahko sklepamo, da rezultate ne moremo posplošiti in da je potrebno obravnavati vsakega merjenca posebej, kot sta zaključila tudi Gregersen in Hull [16].

Ker smo uporabljali markeje v grozdih, je bila napaka v položaju odvisna od načina fiksacije na segmentu, pri čemer smo marker namestili na delu segmenta, ki ima najmanj gibanja kože (ponavadi na sredini segmenta). Do napake lahko pride tudi v položaju pivota, ko smo označevali anatomske položaje na segmentu. Kalibracija pivota je pomemben dejavnik, ki vpliva na napako. Kalibriran je bil z napako od 0,5 mm. Možen vzrok napake pri računanju sil in navorov je tudi šum, do katerega pride pri zajemanju podatkov. Zmanjšanje takšnega tipa napake dosežemo s filtri in povprečjem podatkov. Prednosti grozdovnih markerjev so v tem, da mora biti samo grozd treh markejev viden kameri, vsi ostali virtualni markerji so definirani glede na grozd ter posledično ni pomembno, na katerem delu togega telesa se nahajajo.

Razen kotnih hitrosti in pospeškov na navore v kolenu vplivajo tudi sili  $F_x$  in  $F_y$  preko ročice. Na navor  $T_x$  največ vpliva sila  $F_y$  preko ročice. Na  $T_y$  vpliva sila  $F_x$ . Sili  $F_x$  in  $F_y$  ne vplivata na navor  $T_z$ , saj ročica za ti dve sili ne obstaja okoli  $z$  osi.

Pomanjkljivost študije je majhno število merjencev, vendar dovolj da preverimo, če model deluje. Zaradi tega tudi iz rezultatov ne moremo narediti veliko zaključkov.

## 5 Zaključek

Izdelali smo 3D model obremenitve kolena med kolesarjenjem. Uporabljali smo 3D kinematiko in pedal s šestkomponentnim senzorjem sile/navora, da smo lahko upoštevali zakonitosti 3D modeliranja inverzne dinamike. Na segmentih medenice, stegna, goleni, stopala in pedala smo imeli nameščene tri linearno neodvisne virtualne markerje z izjemo pedala, kjer smo imeli fizične markerje. Izračunali smo distalne in proksimalne sile na vsakem segmentu oziroma v sklepih, ki jih povezujejo (gleženj, koleno in kolk) v  $x$ ,  $y$  in  $z$  smer oziroma navore okoli teh osi. V nadaljnjem delu je smiselno preveriti -med in -znotraj obiskano ponovljivost nad večjim številu kolesarjev. Model ima potencialno praktično uporabnost za prilagajanje biomehanike kolesarjenja v smeri razbremenitev določenih delov kolena v smeri preprečitve preobremenitvenih poškodb.

## 6 Literatura

- [1] T. Alkjaer, E. B. Simonsen, and P. Dyhre-Poulsen. Comparison of inverse dynamics calculated by two- and three-dimensional models during walking. *Gait and Posture*, 13(2):73–77, 2001. (*Citirano na strani 4.*)
- [2] J. Apkarian, S. Naumann, and B. Cairns. A three-dimensional kinematic and dynamic model of the lower limb. *Journal of Biomechanics*, pages 143–155, 1989. (*Citirano na strani 3.*)
- [3] W. Bertucci, F. Grappe, A. Girard, A. Betik, and J. D. Rouillon. Effects on the crank torque profile when changing pedalling cadence in level ground and uphill road cycling. *Journal of Biomechanics*, 38(5):1003–1010, 2005. (*Citirano na straneh 3 in 36.*)
- [4] W. Bertucci, F. Grappe, and A. Gros Lambert. Laboratory versus outdoor cycling conditions: Differences in pedaling biomechanics. *Journal of Applied Biomechanics*, 23(2):87–92, 2007. (*Citirano na strani 2.*)
- [5] T. Boyd, M. L. Hull, and D. Wootten. An improved accuracy six-load component pedal dynamometer for cycling. *Journal of Biomechanics*, 29(8):1105–1110, 1996. (*Citirano na strani 3.*)
- [6] M. J. Callaghan. Lower body problems and injury in cycling, 2005. (*Citirano na strani 1.*)
- [7] B. Clarsen, T. Krosshaug, and R. Bahr. Overuse injuries in professional road cyclists. *American Journal of Sports Medicine*, 38(12):2494–2501, 2010. (*Citirano na strani 1.*)
- [8] D. G. Crouch, L. Kehl, and J. R. Krist. OPTOTRAK: at last a system with resolution of 10  $\mu\text{m}$  (Abstract Only). page 53, aug 1990. (*Citirano na strani 2.*)
- [9] R. B. Davis, S. Ounpuu, D. Tyburski, and J. R. Gage. A gait analysis data collection and reduction technique. *Human Movement Science*, 10(5):575–587, 1991. (*Citirano na strani 3.*)

- [10] R. R. Davis and M. L. Hull. Measurement of pedal loading in bicycling: II. Analysis and results. *Journal of Biomechanics*, 14(12):857–861, 1981. (*Citirano na strani 2.*)
- [11] N. de Bernardo, C. Barrios, P. Vera, C. Laíz, and M. Hadala. Incidence and risk for traumatic and overuse injuries in top-level road cyclists. *Journal of Sports Sciences*, 30(10):1047–1053, 2012. (*Citirano na strani 1.*)
- [12] M. O. Ericson and R. Nisell. Patellofemoral joint forces during ergometric cycling. *Physical Therapy*, 67(9):1365–1369, 1987. (*Citirano na strani 3.*)
- [13] M. O. Ericson and R. Nisell. Efficiency of pedal forces during ergometer cycling. *International Journal of Sports Medicine*, 9(2):118–122, 1988. (*Citirano na strani 3.*)
- [14] B. Fonda and N. Sarabon. Biomechanics of Cycling ( Literature review ). *Sport Science Review*, 19(1):187–210, 2010. (*Citirano na straneh 2 in 3.*)
- [15] P. Francis. Injury prevention for cyclists: a biomechanical approach. *Science of cycling*, pages 145–184, 1986. (*Citirano na strani 1.*)
- [16] C. S. Gregersen and M. L. Hull. Non-driving intersegmental knee moments in cycling computed using a model that includes three-dimensional kinematics of the shank/foot and the effect of simplifying assumptions. *Journal of Biomechanics*, 36(6):803–813, 2003. (*Citirano na straneh 1, 3, 5 in 36.*)
- [17] M. J. A. J. M. Hoes, R. A. Binkhorst, A. E. M. C. Smeeke-Kuyl, and A. C. A. Vissers. Measurement of forces exerted on pedal and crank during work on a bicycle ergometer at different loads. *Internationale Zeitschrift für Angewandte Physiologie Einschließlich Arbeitsphysiologie*, 26(1):33–42, 1968. (*Citirano na strani 2.*)
- [18] M. L. Hull and R. R. Davis. Measurement of pedal loading in bicycling: I. Instrumentation. *Journal of Biomechanics*, 14(12):843–855, 1981. (*Citirano na strani 2.*)
- [19] M. Jorge and M. L. Hull. A Method for Biomechanical Analysis of Bicycle Pedalling. *Journal of Biomechanics*, 18(9):631–644, 1985. (*Citirano na strani 3.*)
- [20] A. Krogh and J. Lindhard. The regulation of respiration and circulation during the initial stages of muscular work. *The Journal of Physiology*, 47(1-2):112–136, 1913. (*Citirano na strani 2.*)
- [21] J. Liu and T. E. Lockhart. Comparison of 3D joint moments using local and global inverse dynamics approaches among three different age groups. *Gait and Posture*, 23(4):480–485, 2006. (*Citirano na strani 4.*)



- [22] P. Ruby and M. L. Hull. Response of intersegmental knee loads to foot/pedal platform degrees of freedom in cycling. *Journal of Biomechanics*, 26(11):1327–1340, 1993. (*Citirano na strani 3.*)
- [23] P. Ruby, M. L. Hull, and D. Hawkins. Three-dimensional knee joint loading during seated cycling. *Journal of Biomechanics*, 25(1):41–53, 1992. (*Citirano na straneh 3, 5 in 36.*)
- [24] P. Ruby, M. L. Hull, K. A. Kirby, and D. W. Jenkins. The effect of lower-limb anatomy on knee loads during seated cycling. *Journal of Biomechanics*, 25(10):1195–1207, 1992. (*Citirano na strani 3.*)
- [25] C. L. Vaughan, B. L. Davis, and J. C. O'Connor. *DYNAMICS OF HUMAN GAIT*. 1999. (*Citirano na straneh 4, 10 in 11.*)
- [26] D. A. Winter. *Biomechanics and Motor Control of Human Movement*, volume 2nd. 2009. (*Citirano na straneh 4, 7, 11, 12 in 21.*)

# Priloge

# A Matlab koda

```
1 % GRS -> Global reference system
2 % LRS -> Local reference system
3 %% Preberi meritve
4     SubjectsFolder = '/home/peter/Desktop/Exported_study/Fonda
        ';
5     SubjectsDir     = dir(SubjectsFolder);
6     isub = [SubjectsDir(:).isdir];
7     SubjectsList = {SubjectsDir(isub).name}';
8     SubjectsList(ismember(SubjectsList,{'.','..'})) = [];
9     result = mkdir(SubjectsFolder,'Rezultati4');
10 % Force files
11     ForceFile = fullfile(SubjectsFolder,'*.tdms');
12     ForceFiles = dir(ForceFile);
13 % Kinematics data
14     KineFile = fullfile(SubjectsFolder,'*.csv');
15     KineFiles = dir(KineFile);
16
17 %% Static calibration
18 % Antropometrijski podatki
19     Antro = fullfile(SubjectsFolder,'Antrop.csv');
20     DataAntro = csvread(Antro,1,0);
21     m = DataAntro(1,1);           % body mass
22     maleolH = DataAntro(1,2);    % malleolus height
23     circumT = DataAntro(1,3);    % shank circumference
24     circumF = DataAntro(1,4);    % thigh circumference
25 % Mass
26     ms = m * 0.0465;           % shank mass
27     mf = m * 0.0145;           % foot mass
28     mt = m * 0.1;              % thigh mass
```

```

29 % Read kinematics data (calibration file)
30     FSkin = 128;
31     KinFileName = KineFiles(1).name;
32     KinFile = fullfile(SubjectsFolder, KinFileName);
33     DATAkin = csvread(KinFile, 5, 0);
34     DATAkin (DATAkin == 0) = NaN;
35     DATAkin(:, 50:61) = 0;
36     DATAkin (isnan(DATAkin)) = interp1(find(~isnan(DATAkin)),
    ...
37                                     DATAkin(~isnan(DATAkin)), find(
    ...
                                     isnan(DATAkin)), 'pchip');
38 % avg kinematics data (one sec)
39     DATAk = DATAkin(500:600, :);
40     DATAk = mean(DATAk, 1);
41     [pedal1, pedal2, trochanter, L_condyle, M_condyle, fibula,
    ...
         tuberosity, L_maleol, M_maleol, heel, ...
42     I_metat, V_metat, toe, sacrum, ASIS_L, ASIS_R, pedal3,
    ...
         pedal4] = markers(DATAk);
43 % Pedal
44     Xan(1, :) = pedal2(1, :) - pedal3(1, :);
45     Zan(1, :) = pedal4(1, :) - pedal3(1, :);
46     Yan(1, :) = cross(Zan(1, :), Xan(1, :));
47     Xan(1, :) = cross(Yan(1, :), Zan(1, :));
48     PG_A = [Xan(1, :)/norm(Xan(1, :)); Yan(1, :)/norm(Yan(1, :));
    ...
             Zan(1, :)/norm(Zan(1, :))];
49
50     pedalF(1, :) = pedal4(1, :) + (40*PG_A(2, :));
51     COP = pedal4 + (40*PG_A(2, :));
52     COMp = pedal3 + (40*PG_A(2, :));
53     COM = [pedal1(1,1) - COMp(1,1); pedal1(1,2) - COMp(1,2);
    ...
            pedal1(1,3) - COMp(1,3)];
54     APV1(1, :) = mtimes(PG_A, COM);
55     COM = [pedal4(1,1) - COMp(1,1); pedal2(1,2) - COMp(1,2);
    ...
            pedal2(1,3) - COMp(1,3)];
56     APV2(1, :) = mtimes(PG_A, COM);
57     COM = [pedal3(1,1) - COMp(1,1); pedal3(1,2) - COMp(1,2);
    ...
            pedal3(1,3) - COMp(1,3)];
58     APV3(1, :) = mtimes(PG_A, COM);

```

```

59     COM = [pedal4(1,1) - COMp(1,1); pedal4(1,2) - COMp(1,2);
           pedal4(1,3) - COMp(1,3)];
60     APV4(1,:) = mtimes(PG_A, COM);
61
62     Zm(1,:) = APV4(1,:) - APV3(1,:);
63     Av(1,:) = APV2(1,:) - APV3(1,:);
64     Ym(1,:) = cross(Zm(1,:), Av(1,:));
65     Xm(1,:) = cross(Ym(1,:), Zm(1,:));
66     PMA = [Xm(1,)/norm(Xm(1,:)); Ym(1,)/norm(Ym(1,:)); Zm
           (1,)/norm(Zm(1,:))];
67
68 % Foot
69     footL = sqrt((toe(1,1) - heel(1,1))^2 + (toe(1,2) - heel
           (1,2))^2 + (toe(1,3) - heel(1,3))^2)* 10^(-3);
70     footB = sqrt((I_metat(1,1) - V_metat(1,1))^2 + (I_metat
           (1,2) - V_metat(1,2))^2 ...
71             + (I_metat(1,3) - V_metat(1,3))^2) * 10^(-3);
72     pAnkle(1,:) = (L_maleol(1,:) + M_maleol(1,:)) / 2;
73     COMf(1,:) = pAnkle(1,:) + (0.5 * (pedalF(1,:) - pAnkle
           (1,:)));
74
75     Yan(1,:) = (I_metat(1,:) - V_metat(1,:));
76     Zan(1,:) = (pAnkle(1,:) - pedalF(1,:));
77     Xan(1,:) = cross(Yan(1,:), Zan(1,:));
78     Yan(1,:) = cross(Zan(1,:), Xan(1,:));
79     FG_A = [Xan(1,)/norm(Xan(1,:)); Yan(1,)/norm(Yan(1,:));
           Zan(1,)/norm(Zan(1,:))];
80
81     COM = [pedalF(1,1) - COMf(1,1); pedalF(1,2) - COMf(1,2);
           pedalF(1,3) - COMf(1,3)];
82     APVF(1,:) = mtimes(FG_A, COM);
83     COM = [pAnkle(1,1) - COMf(1,1); pAnkle(1,2) - COMf(1,2);
           pAnkle(1,3) - COMf(1,3)];
84     AAVF(1,:) = mtimes(FG_A, COM);
85     COM = [heel(1,1) - COMf(1,1); heel(1,2) - COMf(1,2); heel
           (1,3) - COMf(1,3)];
86     AHVF(1,:) = mtimes(FG_A, COM);
87     COM = [I_metat(1,1) - COMf(1,1); I_metat(1,2) - COMf(1,2);

```

```

    I_metat(1,3) - COMf(1,3) ];
88 AMV1(1,:) = mtimes(FG_A, COM);
89 COM = [V_metat(1,1) - COMf(1,1); V_metat(1,2) - COMf(1,2);
    V_metat(1,3) - COMf(1,3) ];
90 AMV5(1,:) = mtimes(FG_A, COM);
91 COM = [toe(1,1) - COMf(1,1); toe(1,2) - COMf(1,2); toe
    (1,3) - COMf(1,3) ];
92 ATVF(1,:) = mtimes(FG_A, COM);
93
94 Xm(1,:) = AMV5(1,:) - AHVF(1,:);
95 Av(1,:) = AMV1(1,:) - AHVF(1,:);
96 Ym(1,:) = cross(Xm(1,:), Av(1,:));
97 Zm(1,:) = cross(Ym(1,:), Xm(1,:));
98 FMA = [Xm(1,:)/norm(Xm(1,:)); Ym(1,:)/norm(Ym(1,:)); Zm
    (1,:)/norm(Zm(1,:))];
99
100 % Shank
101 pKnee(1,:) = (L_condyle + M_condyle(1,:)) / 2;
102 shankL = sqrt((pKnee(1,1) - pAnkle(1,1))^2 + (pKnee(1,2) -
    pAnkle(1,2))^2 ...
103             + (pKnee(1,3) - pAnkle(1,3))^2) *
    10^-3;
104 COMs(1,:) = pKnee(1,:) + (0.42 * (pAnkle(1,:) - pKnee(1,:))
    ));
105
106 Yan(1,:) = M_maleol(1,:) - L_maleol(1,:);
107 Zan(1,:) = pKnee(1,:) - pAnkle(1,:);
108 Xan(1,:) = cross(Yan(1,:), Zan(1,:));
109 Yan(1,:) = cross(Zan(1,:), Xan(1,:));
110 SG_A = [Xan(1,:)/norm(Xan(1,:)); Yan(1,:)/norm(Yan(1,:));
    Zan(1,:)/norm(Zan(1,:))];
111
112 COM = [pAnkle(1,1) - COMs(1,1); pAnkle(1,2) - COMs(1,2);
    pAnkle(1,3) - COMs(1,3) ];
113 AAVS(1,:) = mtimes(SG_A, COM);
114 COM = [pKnee(1,1) - COMs(1,1); pKnee(1,2) - COMs(1,2);
    pKnee(1,3) - COMs(1,3) ];
115 AKVS(1,:) = mtimes(SG_A, COM);

```

```

116     COM = [L_maleol(1,1) - COMs(1,1); L_maleol(1,2) - COMs
           (1,2); L_maleol(1,3) - COMs(1,3)];
117     AMVS(1,:) = mtimes(SG_A, COM);
118     COM = [M_maleol(1,1) - COMs(1,1); M_maleol(1,2) - COMs
           (1,2); M_maleol(1,3) - COMs(1,3)];
119     AmVS(1,:) = mtimes(SG_A, COM);
120     COM = [fibula(1,1) - COMs(1,1); fibula(1,2) - COMs(1,2);
           fibula(1,3) - COMs(1,3)];
121     AFVS(1,:) = mtimes(SG_A, COM);
122     COM = [tuberosity(1,1) - COMs(1,1); tuberosity(1,2) - COMs
           (1,2); tuberosity(1,3) - COMs(1,3)];
123     ATVS(1,:) = mtimes(SG_A, COM);
124
125     Xm(1,:) = AFVS(1,:) - AMVS(1,:);
126     Av(1,:) = AmVS(1,:) - AMVS(1,:);
127     Zm(1,:) = cross(Av(1,:), Xm(1,:));
128     Ym(1,:) = cross(Xm(1,:), Zm(1,:));
129     SMA = [Xm(1,:)/norm(Xm(1,:)); Ym(1,:)/norm(Ym(1,:)); Zm
           (1,:)/norm(Zm(1,:))];
130
131     %Thigh
132     % Breadth between ASIS L and R
133     ASIS = sqrt((ASIS_L(1,1) - ASIS_R(1,1))^2 + (ASIS_L(1,2) -
           ASIS_R(1,2))^2 + ...
           (ASIS_L(1,3) - ASIS_R(1,3))^2);
134
135     % uvw reference system for pelvis
136     vPel = (ASIS_L(1,:) - ASIS_R(1,:)) / norm(ASIS_L(1,:) -
           ASIS_R(1,:));
137     wPel = cross(ASIS_R(1,:) - sacrum(1,:), ASIS_L(1,:) -
           sacrum(1,:)) ...
           / norm(cross(ASIS_R(1,:) - sacrum(1,:), ASIS_L
           (1,:) - sacrum(1,:)));
138
139     uPel = cross(vPel(1,:), wPel(1,:));
140     % joint center
141     pHip = sacrum(1,:) + ((0.598) * ASIS(1,:) * uPel(1,:)) ...
           - (0.344 * ASIS(1,:) * vPel(1,:)) ...
           - (0.290 * ASIS(1,:) * wPel(1,:));
142
143
144     % center of mass of thigh

```

```

145 pKnee(1,:) = (L_condyle(1,:) + M_condyle(1,:)) / 2;
146 thighL = sqrt((pHip(1,1) - pKnee(1,1))^2 + (pHip(1,2) -
      pKnee(1,2))^2 ...
147             + (pHip(1,3) - pKnee(1,3))^2) * 10^-3;
148 COMt = pHip(1,:) + 0.39 * (pKnee(1,:) - pHip(1,:));
149
150 Yan(1,:) = (M_condyle(1,:) - L_condyle(1,:));
151 Zan(1,:) = (pHip(1,:) - pKnee(1,:));
152 Xan(1,:) = cross(Yan(1,:), Zan(1,:));
153 Yan(1,:) = cross(Zan(1,:), Xan(1,:));
154 % Thigh global to anatomical LG_A
155 TG_A = [Xan(1,:)/norm(Xan(1,:)); Yan(1,:)/norm(Yan(1,:));
      Zan(1,:)/norm(Zan(1,:))];
156 % Anatomical knee vector
157 COM = [pKnee(1,1) - COMt(1,1); pKnee(1,2) - COMt(1,2);
      pKnee(1,3) - COMt(1,3)];
158 AKVT(1,:) = mtimes(TG_A, COM);
159 % Anatomical hip vector
160 COM = [pHip(1,1) - COMt(1,1); pHip(1,2) - COMt(1,2); pHip
      (1,3) - COMt(1,3)];
161 AHVT(1,:) = mtimes(TG_A, COM);
162 % Anatomical M_condyle vector
163 COM = [M_condyle(1,1) - COMt(1,1); M_condyle(1,2) - COMt
      (1,2); M_condyle(1,3) - COMt(1,3)];
164 AcVT(1,:) = mtimes(TG_A, COM);
165 % Anatomical L_condyle vector
166 COM = [L_condyle(1,1) - COMt(1,1); L_condyle(1,2) - COMt
      (1,2); L_condyle(1,3) - COMt(1,3)];
167 ACVT(1,:) = mtimes(TG_A, COM);
168 % Anatomical Trochanter
169 COM = [trochanter(1,1) - COMt(1,1); trochanter(1,2) - COMt
      (1,2); trochanter(1,3) - COMt(1,3)];
170 ATVT(1,:) = mtimes(TG_A, COM);
171 % [TM-A]
172 Zm(1,:) = ATVT(1,:) - ACVT(1,:);
173 Av(1,:) = AcVT(1,:) - ACVT(1,:);
174 Ym(1,:) = cross(Av(1,:), Zm(1,:));
175 Xm(1,:) = cross(Zm(1,:), Ym(1,:));

```



```

176
177     TMA = [Xm(1, :)/norm(Xm(1, :)); Ym(1, :)/norm(Ym(1, :)); Zm
           (1, :)/norm(Zm(1, :))];
178
179 % Moment of inertia in x y z of foot(If), shank(Is) and thigh(
    It)
180     If(1,1) = (0.00023 * m * ((4 * maleolH^2) + (3*footL^2)))
           + 0.00022; % x axis
181     If(1,2) = (0.00021 * m * ((4 * footB^2) + (3*footL^2))) +
           0.00067; % y axis
182     If(1,3) = (0.00141 * m * (maleolH^2 + footB^2)) - 0.00008;
           % z axis
183     Is(1,1) = (0.00347 * m * ((shankL^2 )) + (0.076 * circumT
           ^2)) + 0.00511; % x axis
184     Is(1,2) = (0.00387 * m * ((shankL^2)) + (0.076 * circumT
           ^2)) + 0.00138; % y axis
185     Is(1,3) = (0.00041 * m * circumT^2) + 0.00012;
           % z axis
186     It(1,1) = (0.00762 * m * ((thighL^2)) + (0.076 * 0.48^2))
           + 0.01153; % z axis
187     It(1,2) = (0.00762 * m * ((thighL^2))+ (0.076 * 0.48^2)) +
           0.01186; % x axis
188     It(1,3) = (0.00151 * m * 0.48^2) + 0.00305;
           % y axis
189
190 % distal and proximal distance from segment center of mass
191     footp = norm(AAVF)*10^(-3);
192     footd = norm(APVF)*10^(-3);
193     shankd = norm(AAVS)*10^(-3);
194     shankp = norm(AKVS)*10^(-3);
195     thighd = norm(AKVT)*10^-3;
196     thighp = norm(AHVT)*10^-3;
197
198 for i = 1:length(ForceFiles)
199 % Define Condition
200     ConditionFileName = strcat(SubjectsFolder, '/order.txt');
201     delimiter = ',';
202     formatSpec = '%s%[\n\r]';

```

```

203     fileID = fopen(ConditionFileName, 'r');
204     conditionsDataArray = textscan(fileID, formatSpec, '
        Delimiter', delimiter, 'ReturnOnError', false);
205     conditions = conditionsDataArray{1,1};
206     condition = conditions{i};
207
208 %% Force and kinematics data for one trial
209 % Read force data
210     ForceFileName = ForceFiles(i).name;           % name of the
        current file
211     ForceFile = fullfile(SubjectsFolder, ForceFileName); %
        directory and name of the current file
212     [finalOutput, metaStruct] = TDMS_readTDMSFile(ForceFile);
213     ForceData = finalOutput.data;
214     FSforce1 = finalOutput.propValues{1,3};
215     FSforce = 1/FSforce1{1,3};
216
217     FxR = ForceData{1,3}';
218     FyR = ForceData{1,4}';
219     FzR = ForceData{1,5}';
220     TxR = ForceData{1,6}';
221     TzR = ForceData{1,7}';
222     KinematicsTrigger = ForceData{1,8}';
223 % Filter force data
224     Fcutoff = 8;
225     Forder = 4;
226
227     FxR = filterData (FxR, Fcutoff, FSforce, Forder);
228     FyR = filterData (FyR, Fcutoff, FSforce, Forder);
229     FzR = filterData (FzR, Fcutoff, FSforce, Forder);
230     TxR = filterData (TxR, Fcutoff, FSforce, Forder);
231     TzR = filterData (TzR, Fcutoff, FSforce, Forder);
232
233 % Read kinematics data
234     FSkin = 128;
235     KinFileName = KineFiles(i+1).name;
236     KinFile = fullfile(SubjectsFolder, KinFileName);
237     DATAkin = csvread(KinFile, 5, 0);

```

```

238     DATAkin (DATAkin == 0) = NaN;
239     DATAkin(:,50:61) = 0;
240     DATAkin (isnan(DATAkin)) = interp1(find(~isnan(DATAkin)),
      ...
241                                         DATAkin(~isnan(DATAkin)), find(
      ...
      isnan(DATAkin)), 'pchip');
242
243 %% Synchronise data
244 % Find start of the recording in the force files
245     if mean(KinematicsTrigger) > 0
246         KinStart = find(KinematicsTrigger > 4.8, 1);
247         KinStart = find(KinematicsTrigger > 0.04, 1);
248
249     elseif mean(KinematicsTrigger) < 0
250         KinStart = find(KinematicsTrigger < -4.8, 1);
251     end
252
253     KinEnd = 60000+KinStart;
254 % Re-sample kinematics to the frequency of Force
255     [P1,Q1] = rat(FSforce/FSkin);
256     DATAkin = resample(DATAkin,P1,Q1);
257     KtimeCheck = length(DATAkin)/1000;
258 % Filter kinematics data
259     Kcutoff = 12;
260     Korder = 4;
261     DATAkin = filterData (DATAkin, Kcutoff, FSforce, Korder);
262 % Cut Forces to align the start with the kinematics data
263     FxR = FxR(KinStart:KinEnd-1);
264     FyR = FyR(KinStart:KinEnd-1);
265     FzR = FzR(KinStart:KinEnd-1);
266     TxR = TxR(KinStart:KinEnd-1);
267     TzR = TzR(KinStart:KinEnd-1);
268
269 %% Start calculations
270 % Get markers
271     [pedal1, pedal2, trochanter, L_condyle, M_condyle, fibula,
      ...
      tuberosity, L_maleol, M_maleol, heel, ...
272     I_metat, V_metat, toe, sacrum, ASIS_L, ASIS_R, pedal3,

```

```

                pedal4] = markers(DATAskin);
273 % Pedal angle
274 [pedalangle]=angpedal(pedal1 , pedal2);
275 [pedal , crank] = pedalmarker(pedal1 , pedal2);
276
277 for j = 1:length(pedal)
278     CrankAngle(j ,1) = atand((pedal(j ,1)-crank(1 ,1))/(pedal
                (j ,3)-crank(1 ,3)));
279     if (pedal(j ,3)-crank(1 ,3)) < 0
280         CrankAngle(j ,1) = 180+CrankAngle(j ,1);
281     end
282     if (pedal(j ,1)-crank(1 ,1)) < 0 && (pedal(j ,3)-crank
                (1 ,3)) > 0
283         CrankAngle(j ,1) = 360+CrankAngle(j ,1);
284     end
285 end
286
287 %% Kinematics of pedal
288 for j = 1:length(pedal1)
289     Zm(j ,:) = pedal4(j ,:) - pedal3(j ,:);
290     Av(j ,:) = pedal2(j ,:) - pedal3(j ,:);
291     Ym(j ,:) = cross(Zm(j ,:) , Av(j ,:));
292     Xm(j ,:) = cross(Ym(j ,:) , Zm(j ,:));
293
294     GM = [Xm(j ,:)/norm(Xm(j ,:)); Ym(j ,:)/norm(Ym(j ,:)); Zm(j
                ,:)/norm(Zm(j ,:))];
295     GA = mtimes(PMA, GM);
296
297     FPP(j ,1:3) = transpose(mtimes(transpose(GA) , [FxR(j ,1); -
                FyR(j ,1); -FzR(j ,1)]));
298     MPP(j ,1:3) = transpose(mtimes(transpose(GA) , [TxR(j ,1);
                0; TzR(j ,1)]));
299     Fpp(j ,1:3) = transpose(mtimes(GA, transpose(FPP(j ,1:3))))
                ;
300     Mpp(j ,1:3) = transpose(mtimes(GA, transpose(MPP(j ,1:3))))
                ;
301
302 end

```

```

303 %% Kinematics of foot
304 for j = 1:length(toe)
305     Xm(j,:) = V_metat(j,:) - heel(j,:);
306     Av(j,:) = I_metat(j,:) - heel(j,:);
307     Ym(j,:) = cross(Xm(j,:), Av(j,:));
308     Zm(j,:) = cross(Ym(j,:), Xm(j,:));
309
310     GM = [Xm(j,:)/norm(Xm(j,:)); Ym(j,:)/norm(Ym(j,:)); Zm(j
        ,:)/norm(Zm(j,:))];
311     GA = mtimes(FMA, GM);
312     c = mtimes(transpose(GA), transpose(-AHVF(1,:)));
313
314     % Coordinate of COM of foot
315     Rc = heel(j,:) + transpose(c);
316     [theta1, theta2, theta3] = mat2ang(GA);
317     Koti(j,1:6) = [Rc deg2rad(theta1) deg2rad(theta2) deg2rad(
        theta3)];
318 end
319
320 for j = 2:length(V_metat)-1
321     % angular velocity in GRS
322     va(j,1:3) = (Koti(j+1,4:6) - Koti(j-1,4:6)) / (2/1000);
323     mat = angularV(Koti(j,5:6));
324     % Angular velocity of foot in LRS
325     omega(j,1:3) = transpose(mtimes(mat, transpose(va(j,1:3))
        ));
326 end
327
328 for j = 3:length(V_metat)-2
329     % Foot COM acceleration in GRS
330     a(j,1:3) = (Koti(j+1,1:3)*10^(-3) - (2*Koti(j,1:3))
        *10^(-3) + (Koti(j-1,1:3)*10^(-3))) / (1/1000)^2;
331     % Angular acceleration of foot in LRS
332     alfa(j,1:3) = (omega(j+1,1:3) - omega(j-1,1:3)) / (2/1000)
        ;
333     GA = ga(Koti(j, 4:6));
334     % Proximal force of foot in GRS
335     FPf(j,1) = (mf * a(j,1)) + FPP(j,1); %x

```

```

336   FPf(j,2) = (mf * a(j,2)) + FPP(j,2); %y
337   FPf(j,3) = (mf * a(j,3)) + FPP(j,3) + (mf * 9.814); %z
338   % Distal force of foot in LRS
339   Fdf(j,1:3) = transpose(mtimes(G_A, transpose(-FPP(j,:))));
340   % Proximal force of foot in LRS
341   Fpf(j,1:3) = transpose(mtimes(G_A, transpose(FPf(j,:))));
342   % Distal moment of foot in LRS
343   Mdf(j,1:3) = transpose(mtimes(G_A, transpose(-MPP(j,:))));
344   % Proximal moment of foot in LRS
345   Mpf(j,1) = (If(1,1)*alfa(j,1)) + ((If(1,2)-If(1,3)) *
      omega(j,3) * omega(j,2)) - (Fdf(j,2)*footd)...
346       - (Fpf(j,2) * footp) + Mdf(j,1);
347   Mpf(j,2) = (If(1,2)*alfa(1,2)) + ((If(1,3) - If(1,1)) *
      omega(j,1) * omega(j,3)) + (Fdf(j,1) * footd)...
348       + (Fpf(j,1) * footp) + Mdf(j,2);
349   Mpf(j,3) = (If(1,3) * alfa(j,3)) + ((If(1,1) - If(1,2)) *
      omega(j,1) * omega(j,2)) + Mdf(j,3);
350
351   % Proximal moment of foot in GRS
352   MPf(j,:) = transpose(mtimes(transpose(G_A), transpose(Mpf(
      j,:))));
353 end
354
355 %% Kinematics of shank
356 for j = 1:length(fibula)
357   Xm(j,:) = fibula(j,:) - L_maleol(j,:);
358   Av(j,:) = M_maleol(j,:) - L_maleol(j,:);
359   Zm(j,:) = cross(Av(j,:), Xm(j,:));
360   Ym(j,:) = cross(Xm(j,:), Zm(j,:));
361
362   G_M = [Xm(j,:)/norm(Xm(j,:)); Ym(j,:)/norm(Ym(j,:)); Zm(j
      ,:)/norm(Zm(j,:))];
363   G_A = mtimes(SM_A, G_M);
364   c = mtimes(transpose(G_A), transpose(-AMVS(1,:)));
365
366   % Coordinate of COM of shank
367   Rc = L_maleol(j,:) + transpose(c);
368   [theta1, theta2, theta3] = mat2ang(G_A);

```

```

369     Koti(j,7:12) = [Rc deg2rad(theta1) deg2rad(theta2) deg2rad
                    (theta3)];
370 end
371
372 for j = 2:length(L_maleol)-1
373     % Angular velocity
374     va(j,4:6) = (Koti(j+1,10:12) - Koti(j-1,10:12)) / (2/1000);
375     mat = angularV(Koti(j,11:12));
376     % Angular velocity of shank in LRS
377     omega(j,4:6) = transpose(mtimes(mat, transpose(va(j,4:6))))
                    );
378 end
379
380 for j = 3:length(L_maleol)-2
381     GA = ga(Koti(j, 10:12));
382     % Shank COM acceleration in GRS
383     a(j,4:6) = (Koti(j+1,7:9)*10^(-3) - (2*Koti(j,7:9)*10^(-3)
                    ) + (Koti(j-1,7:9)*10^(-3))) / (1/1000)^2;
384     % Angular acceleration of shank in LRS
385     alfa(j,4:6) = (omega(j+1,4:6) - omega(j-1,4:6)) / (2/1000)
                    ;
386     % Proximal force of shank in GRS
387     FPs(j,1) = (mf * a(j,4)) + FPf(j,1); %x
388     FPs(j,2) = (mf * a(j,5)) + FPf(j,2); %y
389     FPs(j,3) = (mf * a(j,6)) + FPf(j,3) + (mf * 9.814); %z
390     % Distal force of shank in LRS
391     Fds(j,1:3) = transpose(mtimes(GA, transpose(-FPf(j,1:3))))
                    );
392     % Proximal forces of shank in LRS
393     Fps(j,1:3) = transpose(mtimes(GA, transpose(FPs(j,1:3))))
                    ;
394     % Distal moment of shank in LRS
395     Mds(j,1:3) = transpose(mtimes(GA, transpose(-MPf(j,1:3))))
                    );
396     % Proximal moment of shank in LRS
397     Mps(j,1) = (Is(1,1)*alfa(j,4)) + ((Is(1,2)-Is(1,3)) *
                    omega(j,6) * omega(j,5)) - (Fds(j,2)*shankd) ...
398     - (Fps(j,2) * shankp) + Mds(j,1);

```

```

399     Mps(j,2) = (Is(1,2)*alfa(j,5)) + ((Is(1,3) - Is(1,1)) *
        omega(j,4) * omega(j,6)) + (Fds(j,1) * shankd)...
400         + (Fps(j,1) * shankp) + Mds(j,2);
401     Mps(j,3) = (Is(1,3) * alfa(j,6)) + ((Is(1,1) - Is(1,2)) *
        omega(j,4) * omega(j,5)) + Mds(j,3);
402 % Proximal moments of shank in GRS
403     MPs(j,:) = transpose(mtimes(transpose(G_A), transpose(Mps(
        j,:)))));
404 end
405
406 %% Kinematics and kinetics of thigh
407 for j = 1:length(L_condyle)
408     % [G-M]
409     Zm(j,:) = trochanter(j,:) - L_condyle(j,:);
410     Av(j,:) = M_condyle(j,:) - L_condyle(j,:);
411     Ym(j,:) = cross(Av(j,:), Zm(j,:));
412     Xm(j,:) = cross(Zm(j,:), Ym(j,:));
413
414     GM = [Xm(j,:)/norm(Xm(j,:)); Ym(j,:)/norm(Ym(j,:)); Zm(j
        ,:)/norm(Zm(j,:))];
415     GA = mtimes(TMA, GM);
416     c = mtimes(transpose(G_A), transpose(-ACVT(1,:)));
417     Rc = L_condyle(j,:) + transpose(c);
418     [theta1, theta2, theta3] = mat2ang(G_A);
419     Koti(j,13:18) = [Rc deg2rad(theta1) deg2rad(theta2)
        deg2rad(theta3)];%theta(j,7:9)];
420 end
421
422
423 for j = 2:length(L_condyle)-1
424     % angular velocity
425     va(j,7:9) = (Koti(j+1,16:18) - Koti(j-1,16:18)) / (2/1000);
426     mat = angularV(Koti(j,17:18));
427     omega(j,7:9) = (mtimes(mat, transpose(va(j,7:9))));
428 end
429
430 for j = 3:length(L_condyle)-2
431

```



```

432 GA = ga(Koti(j, 16:18));
433 % segment COM acceleration in x y z in GRS
434 a(j,7:9) = (Koti(j+1,13:15)*10^(-3) - (2*Koti(j,13:15)
      *10^(-3)) + Koti(j-1,13:15)*10^(-3)) / (1/1000)^2;
435 % angular acceleration
436 alfa(j,7:9) = (omega(j+1,7:9) - omega(j-1,7:9)) / (2/1000)
      ;
437 % RPs -> proximal reaction force of foot in GRS x y z
438 FPt(j,1) = (mt * a(j,7)) + FPs(j,1); %x
439 FPt(j,2) = (mt * a(j,8)) + FPs(j,2); %y
440 FPt(j,3) = (mt * a(j,9)) + FPs(j,3) + (mt * 9.814); %z
441 % Rds distal reaction force of shank in local coordinate
      system
442 Fdt(j,1:3) = transpose(mtimes(GA, transpose(-FPs(j,:))));
443 % proximal reaction force of shank in local system
444 Fpt(j,1:3) = transpose(mtimes(GA, transpose(FPt(j,:))));
445 % distal moment of shank in local system
446 Mdt(j,1:3) = transpose(mtimes(GA, transpose(-MPs(j,:))));
447 % proximal moment of foot(pedal) in local system
448 Mpt(j,1) = (It(1,1)*alfa(j,7)) + ((It(1,2)-It(1,3)) *
      omega(j,9) * omega(j,8)) - (Fdt(j,2)*thighd)...
449       - (Fpt(j,2) * thighp) + Mdt(j,1);
450 Mpt(j,2) = (It(1,2)*alfa(j,8)) + ((It(1,3) - It(1,1)) *
      omega(j,7) * omega(j,9)) + (Fdt(j,1) * thighd)...
451       + (Fpt(j,1) * thighp) + Mdt(j,2);
452 Mpt(j,3) = (It(1,3) * alfa(j,9)) + ((It(1,1) - It(1,2)) *
      omega(j,7) * omega(j,8)) + Mdt(j,3);
453 end
454
455 %% Important data
456 [locs1] = cyclesCA(CrankAngle);
457 [cyclesFxK, mFxK, sdFxK, maxFxK, maxdFxK, minFxK, mindFxK]
      = cycles(Fps(:,1), CrankAngle, locs1);
458 [cyclesFyK, mFyK, sdFyK, maxFyK, maxdFyK, minFyK, mindFyK]
      = cycles(Fps(:,2), CrankAngle, locs1);
459 [cyclesFzK, mFzK, sdFzK, maxFzK, maxdFzK, minFzK, mindFzK]
      = cycles(Fps(:,3), CrankAngle, locs1);
460 [cyclesTxK, mTxK, sdTxK, maxTxK, maxdTxK, minTxK, mindTxK]

```

```

    = cycles(Mps(:,1), CrankAngle, locs1);
461 [cyclesTyK, mTyK, sdTyK, maxTyK, maxdTzK, minTyK, mindTyK]
    = cycles(Mps(:,2), CrankAngle, locs1);
462 [cyclesTzK, mTzK, sdTzK, maxTzK, maxdTzK, minTzK, mindTzK]
    = cycles(Mps(:,3), CrankAngle, locs1);
463 [cyclesFxP, mFxP, sdFxA, maxFxP, maxdFxP, minFxP, mindFxP]
    = cycles(Fpp(:,1), CrankAngle, locs1);
464 [cyclesFyP, mFyP, sdFyA, maxFyP, maxdFyP, minFyP, mindFyP]
    = cycles(Fpp(:,2), CrankAngle, locs1);
465 [cyclesFzP, mFzP, sdFzA, maxFzP, maxdFzP, minFzP, mindFzP]
    = cycles(Fpp(:,3), CrankAngle, locs1);
466 [cyclesTxP, mTxP, sdTxA, maxTxP, maxdTxP, minTxP, mindTxP]
    = cycles(Mpp(:,1), CrankAngle, locs1);
467 [cyclesTzP, mTzP, sdTzA, maxTzP, maxdTzP, minTzP, mindTzP]
    = cycles(Mpp(:,3), CrankAngle, locs1);
468
469 end

```